REBOUND 1940

ALEX. AGASSIZ.

Library of the Museum

OF

COMPARATIVE ZOÖLOGY,

AT HARVARD COLLEGE, CAMBRIDGE, MASS.

Founded by private subscription, in 1861.

Deposited by ALEX. AGASSIZ.

No. 2351

Bd. 4

ATLAS

ZU DEN

ASTERIDEN UND ENCRINIDEN

A. U. B.

4

ATLAS

zu

Quenstedt, Echinodermen.

1 2 3/4

Heft.

und Text 3 10-

LEIPZIG,

FUES'S VERLAG (R. REISLAND).

1876.

Bd. 4

ATLAS

ZU DEN

ASTERIDEN UND ENCRINIDEN

VON

FRIEDRICH AUGUST QUENSTEDT,

PROFESSOR DER GEOLOGIE UND MINERALOGIE IN TÜBINGEN.

4.

LEIPZIG,

FUES'S VERLAG (R. REISLAND).

1876.

DRUCK VON L. FR. FUES IN TÜBINGEN.

5262
3-15

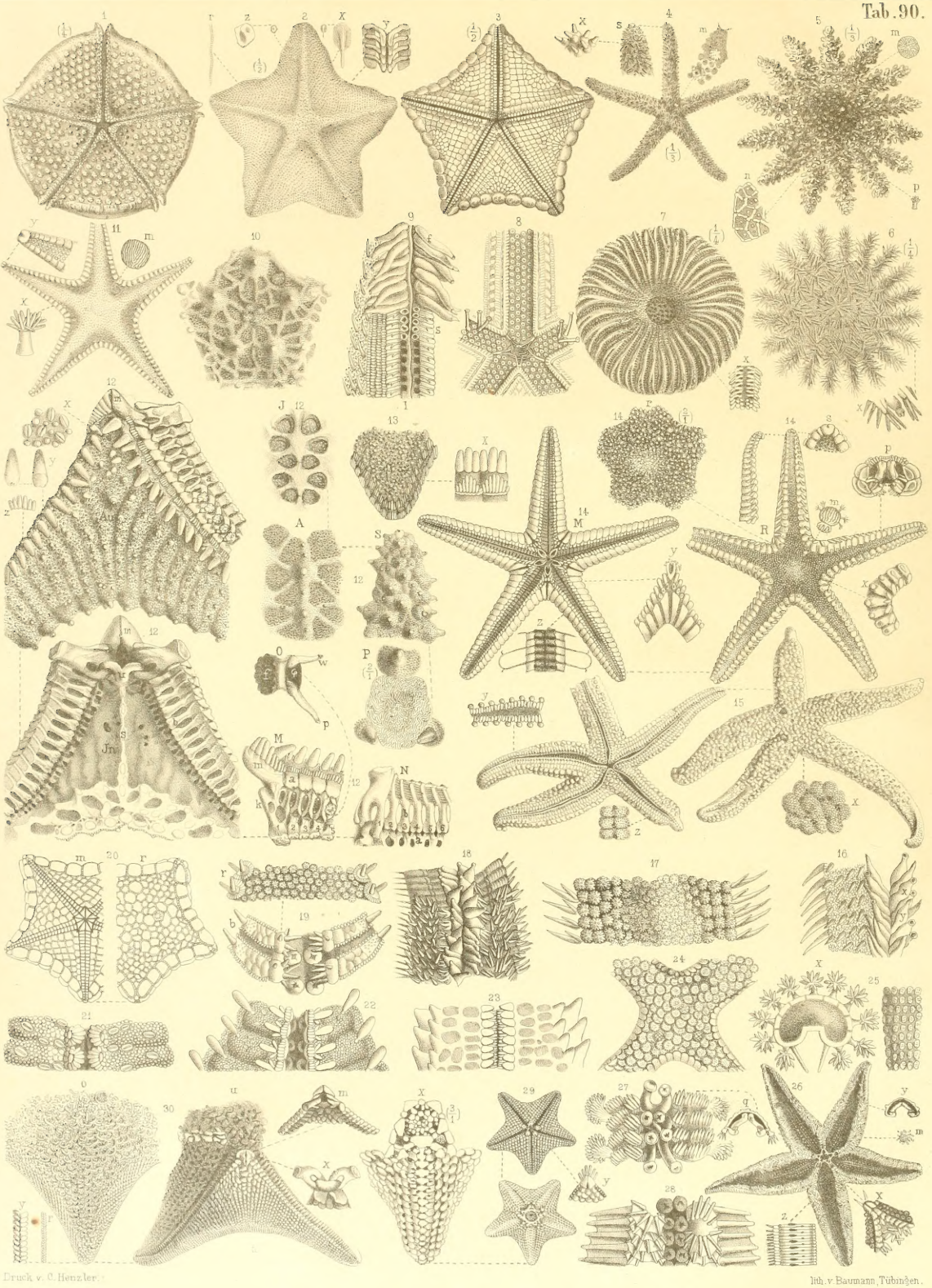

Druck v. C. Henzler.

lith. v. Baumann, Tübingen.

Erklärung tab. 90.

Fig. 1 Culcita discoidea pag. 21, lebt, Copie (1/4 natürlicher Grösse).
— 2 Palmipes membranaceus pag. 19, Mittelmeer (1/2 natürlicher Grösse): *x* vergrösserte Schuppe, *y* Ambulacra mit unterliegenden Adambulacra, *z* Adambulacra, *r* Randansicht.
— 3 Pentagonaster regularis pag. 14, lebend, Copie, Mundseite (1/2 natürlicher Grösse).
— 4 Echinaster sepositus pag. 5, lebend (1/3 natürlicher Grösse): *m* After mit Madreporenplatte; *s* bewegliche Stacheln, *x* vergrössert.
— 5 Solaster papposus pag. 17, in nordischen Meeren (1/3 natürlicher Grösse): *m* Madreporenplatte, *n* Netzwerk von Knochen auf den Scheiben, *p* kolbiger Pappus.
— 6 Echinaster solaris pag. 17, lebend in Südamerika (1/4 natürlicher Grösse), *s* bewegliche Stacheln in natürlicher Grösse.
— 7 Heliaster helianthus pag. 6 (Asteracanthion), lebt bei Panama (1/4 natürlicher Grösse), *x* Fühler und alternirende Poren.
8 Asterias rubens pag. 6, Nordsee, copirt von Reaumur, im Centrum der Mund, vier Reihen Füsse gestreckt und in Ruhe.
— 9 Asterias aurantiaca pag. 6, Mittelmeer, copirt von Tiedemann.
— 10 Oreaster tuberculatus pag. 7, Zanzibar, Centrum des Rückens mit After und Madreporenplatte.
— 11 Astropecten Johnstoni pag. 7, Mittelmeer, vom Rücken: *x* vergrösserte Paxillen, *m* Madreporenplatte, *y* Armspitze mit nach oben gekehrtem Augenpunkt.
— 12 Oreaster reticulatus pag. 15, Atlantischer Ocean: ein breites Zwischenfeld von aussen, *a* Ambulacralplatten, *f* Füsschen; *x* vergrösserte Pedicellarien, *y* Stacheln von zwei Seiten, *z* Papillen. *In* Innenseite zeigt den unpaaren Knochen *u* und die abgeschnittene Scheidewand *s*, *m* Mundplatten. *M* Mundspitze von aussen, *N* von innen, *O* vergrösserter Fuss, *f* die Fussscheibe, *w* und *p* die beiden innern Schläuche, welche die Scheidewand *o* durchbrechen. *A* Radialrücken von aussen, *I* von innen, *S* Armspitze, *P* vergrösserte Madreporenplatte.
— 13 Oreaster mammillatus pag. 7, Rothe Meer, Armspitze, *x* vergrösserte Papillen.
— 14 Astropecten mesodiscus pag. 9, *M* Mundseite: *y* vergrösserte Mundecke, *z* vergrösserte Ambulacralfurche; *R* Rückenseite: *r* vergrössserte Centralscheibe, *s* vergrösserte Armspitze mit Augenassel, *m* vergrösserte Madreporenplatte am Rande mit Paxillen, *q* vergrösserter Querschnitt des Armes, *x* Randplatten vergrössert.
— 15 Ophidiaster (Linckia) miliaris pag. 16, indischer Ocean, mit zwei Madreporenplatten: *x* vergrössertes Hautstück mit Poren, *y* Ambulacralfurche, *z* Randplatten.
— 16 Astropecten aurantiacus pag. 13, Europäische Meere, *x* Füsschen an der Spitze zurückgezogen, *y* gestreckt. Copie nach Tiedemann.
— 17 Luidia Senegalensis pag. 13, Rückenseite eines Armstücks, Copie nach Müller.
— 18 Luidia Saviguyi pag. 13, Bauchseite eines Armstücks, Copie nach Savigny.
— 19 Ctenodiscus polaris pag. 13, *r* Rücken, *b* Bauch eines Armstücks, Copie nach Müller.
— 20 Astrogonium cuspidatum pag. 15, *r* Rücken, *m* Mundseite, Copie nach Wright.
— 21 Goniodiscus pentangulus pag. 15, Bauchseite, Copie nach Müller.
— 22 Stellaster Childreni pag. 15, Bauchseite, Copie nach Müller.
— 23 Asteropsis carinifera pag. 16, Bauchseite, Copie nach Müller.
— 24 Scytaster variolata pag. 16, Scheibe vom Rücken, Copie nach Linck.
— 25 Asterias subulata pag. 17, Stück vom Arm, *x* vergrösserter Querschnitt, Copie nach Chiaje.
— 26 Asterias rubens pag. 18, Europäische Meere, von der Mundseite: *x* vergrössertes Interambulacrum jederseits mit zwei Reihen Fühler; *m* Madreporenplatte, *y* Querschnitt, *z* Ambulacral- und Adambulacralplatten mit alternirenden Löchern.
— 27 Solaster papposus pag. 17, Nordsee, Armstück von der Mundseite, Copie.
— 28 Pteraster militaris pag. 21, Grönland, Armstück der Mundseite, Copie.
— 29 Asterias exigua pag. 19 (Asterina), Mittelmeer, *y* vergrösserte Mundecke, *x* vergrösserter Strahl mit Centrum, worin Madreporenplatte und After sichtbar.
— 30 Asteriscus pectinifer pag. 20, Chinameer, Arm *o* von oben, Zwischenfeld *u* von unten, *m* Mundplatte mit den ansitzenden Theilen von innen, *x* vergrösserte vordere Ambulacrale mit den unpaaren Knochen; *y* vergrösserte Randansicht *r*.

Erklärung tab. 91.

Fig. 1 Asterias prisca ferrata pag. 25, Eisenerz Brauner Jura β, Wasseralfingen, Mundseite, *o* Oberseite, *x* vergrössertes Interambulacrum, *r* Rand.

2 desgleichen pag. 26, daher, Oberseite: *x* vergrösserte Armspitze, *y* Granulation der Asseln.

3. *A* desgleichen pag. 27, daher, Armstück von unten, *x* vergrössert: *a* Ambulacralknochen, *b* Adambulacrum, *r* Randplatte, *i* Grube.

3. *B* desgleichen pag. 27, daher, gebogener Arm, *x* Randasseln vergrössert, *y* Ambulacra.

4 desgleichen pag. 27, daher, Arm: *r* vergrösserter Rücken, *x* Querschnitt.

5 Asterias prisca arenacea pag. 28, Brauner Jura β, Gammelshausen.

6 desgleichen pag. 28, Brauner Jura β, Metzingen, *k* vergrösserte Paxille?, *r* granulirte Randplatten.

7 Asterias Cotteswoldiae pag. 29, vergrössertes Ende des ersten Ambulacralknochens, Copie.

8 Astropecten mesodiscus pag. 29, lebend, die vordern vier Ambulacral- *a* und Adambulacralbeine *k*, *w* Unpaarer Knochen.

9—17 Asterias longassula pag. 30, Brauner Jura δ, Aalen, verschiedene Asseln.

18. 19 Asterias pag. 31, daher, schmal.

20 Asterias mesodiscus pag. 31, lebend, Asseln des Randes, *i* innen, *a* aussen.

21. 22 Asterias pag. 32, Brauner Jura δ, Oberalfingen, Asseln.

23—46 Asterias impressae pag. 32, Weisser Jura α, Reichenbach.

47—54 desgleichen pag. 35, Weisser Jura α, Oeschingen.

55 desgleichen pag. 35, Brauner Jura ζ, Gammelshausen, Centralplatte.

56—59 desgleichen pag. 36, Weisser Jura α, Reichenbach, Centralplatten.

60. 61 desgleichen pag. 36, daher.

62 desgleichen pag. 36, daher, Stachel.

63 desgleichen pag. 37, Assel mit Pedicellarien?

64 desgleichen pag. 37, Weisser Jura α, Geisslingen, Armstück.

65 desgleichen pag. 37, Weisser Jura α, Scheibenstück, Sattelbogen, östlich Unterlenningen.

66—68 desgleichen pag. 38, daher, Asselreihen.

69 Asteriastafel pag. 39, Weisser Jura α.

70—76 Asterias impressae pag. 39, Weisser Jura α, Reichenbach, Fülltafeln.

77—81 desgleichen pag. 39, daher, Füllsäulchen.

82 desgleichen pag. 40, daher, Terminalplatte.

83 desgleichen pag. 40, daher, Adambulacrum von 3 Seiten vergrössert.

84 desgleichen pag. 40, daher, Ambulacrum.

85—100 Asterias spongiosa pag. 41, Weisser Jura α, Lochen etc.

101—104 desgleichen pag. 42, daher, Scheibenplatten.

105 Asterias γ alba pag. 42, Weisser Jura γ?

106—115 Asterias spongiosa pag. 43, Weisser Jura α, Scheibenplatten.

116—118 Asterias pag. 43, daher, symmetrische Knochen.

119 124 Asterias spongiosa pag. 43, daher, Hautplatten.

125 desgleichen pag. 44, daher, Ambulacralplatte.

126 Ambulacralplatte pag. 44, daher.

127 Asterias spongiosa pag. 44, Weisser Jura α, Lochen, Adambulacralplatte.

128 Adambulacralplatte pag. 44, daher.

129 desgleichen pag. 44, daher.

130 Assula sculpta pag. 45, daher, *y* vergrösserte Unterseite.

131—133 Asterias jurensis pag. 45, Weisser Jura ε, Nattheim.

134 desgleichen pag. 45, Weisser Jura ε, Germersdorf.

135 desgleichen pag. 45, Weisser Jura ε, Franken, Centralplatte.

136 desgleichen pag. 46, Weisser Jura ε, Nollhaus.

137—140 desgleichen pag. 46, Weisser Jura ε, Schnaitheim, Randplatten.

141—144 desgleichen pag. 46, daher, Scheibenplatten.

145—149 Asterias jurensis ε pag. 46, Weisser Jura ε, Oerlinger Thal.

150 Asterias jurensis pag. 47, Brauner Jura, Berlin.

151 Asterias pag. 47, Lias ζ, Balingen.

152 Asterias pag. 48, Lias δ, problematische Platte, Ohmenhausen.

153 desgleichen pag. 48, daher, Augenplatte.

154 desgleichen pag. 48, Lias δ, Dürnau, *z* oben, *y* unten, *x* hinten.

155 Asterias cancriformis pag. 49, Jurassisch, Augentafel *x* hinten, *y* unten, *z* oben, *v* vorn.

156 Asterisens pectinifer pag. 50, lebend, Unpaarer Knochen, *x* von unten vergrössert.

157 Peltarion pag. 51, Weisser Jura ε, Streitberg, verkieselt.

158 desgleichen pag. 51, Weisser Jura ε, verkieselt.

159 desgleichen pag. 51, Weisser Jura α, Lochen, vom Rücken, *x* vergrössert; 159. *a* kleinste Form.

160 desgleichen pag. 51, Weisser Jura α, Birmensdorf.

161—167 Asterias quinqueloba pag. 51, Weisse Kreide, Rügen.

168—171 Asterias Plauensis pag. 53, Pläner, Quedlinburg.

172—181 Asterias vittata pag. 54, Foraminiferensand der Kreide, Weddersleben.

182. 183 desgleichen pag. 56, daher, Augenplatten.

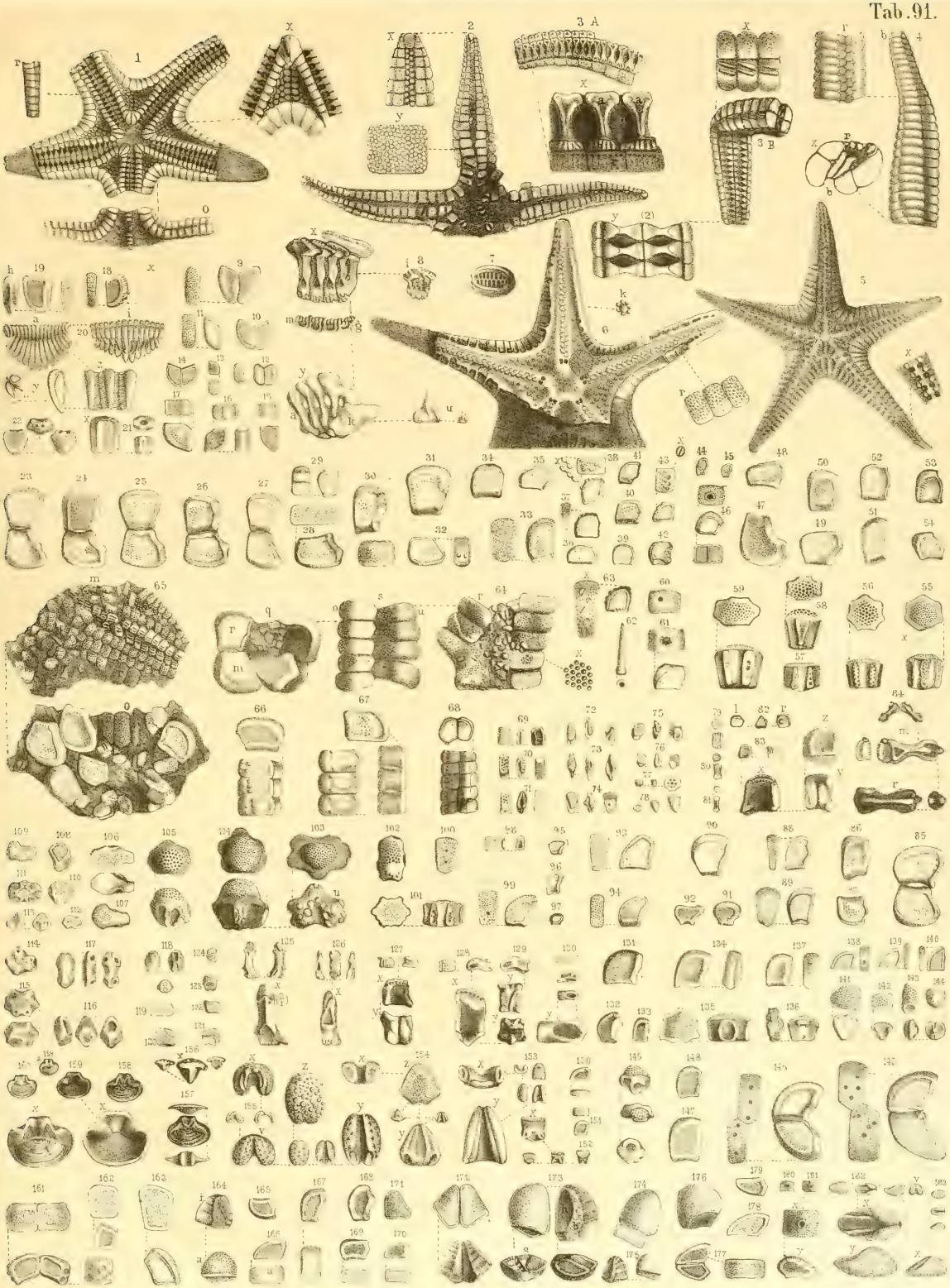

Druck v. C. Henzler

lith. v. Baumann, Tübingen.

Druck v. C. Hensler

lith. v. Baumann, Tübingen

Erklärung tab. 92.

Fig. 1 Asterias (Goniaster) regularis pag. 56, Weisse Kreide, England: *r* Rücken, *m* Mundseite, *e* Ecke, *s* Rand.

2 Asterias semilunatus pag. 57, daher, *y* vergrösserte Adambulacra.

3 desgleichen pag. 58, daher, Eckplatten.

4 Goniaster rugatus pag. 58, Weisse Kreide, Kent, Copie.

5 Goniaster uncatus pag. 58, Weisse Kreide, Wiltshire, Copie: *m* Mund-, *r* Rückenseite.

6 Goniaster Parkinsonii pag. 59, Chalk, England, Copie: Mundseite *m*.

7 desgleichen pag. 60, daher, Copie: Rückenseite *r*.

8 desgleichen pag. 60, daher, Copie: Mundseite.

9 Goniaster compactus pag. 60, Upper Chalk, Sussex, Copie: Rückenseite.

10 Goniaster Bowerbankii pag. 60, Upper Chalk, Kent, Copie.

11 Asterias quinqueloba pag. 60, Kreide, Copie: Mundseite.

12. 13 Goniaster cf. Couloni pag. 61, Neocom, Neuchatel.

14 Asterias Schulzii pag. 61, Upper Greensand, Blackdown: *m* Madreporenplatte, *z* Ambulacralköpfe, *x* Pedicellarien.

15 Goniaster tuberculatus pag. 64, Londonthon, Sheppey, Copie.

16 Goniaster Mülleri pag. 65, Leithakalk, Wien, Copie.

17 Astropecten Forbesi pag. 64, daher, Copie.

18 Goniaster Smithi pag. 64, Weisse Kreide, Kent, Copie.

19 Asterias cilicia pag. 65, Hauptmuschelkalk, Hemmersheim.

20 desgleichen pag. 68, Hauptmuschelkalk, Simmershofen, *x* vergrösserter Rand.

21 desgleichen pag. 69, Encrinitenkalk, Gaismühle.

22 desgleichen pag. 68, Hauptmuschelkalk, Simmershofen, Rückenparthie.

23 desgleichen pag. 69, daher, Mundseite, *s* Stacheln.

24 desgleichen pag. 67, daher, Armspitze von der Seite.

25 desgleichen pag. 69, Hauptmuschelkalk, Lenzenbronn.

26 desgleichen pag. 69, Hauptmuschelkalk, Hemmersheim, *x* vergrösserte Ambulacra.

27 desgleichen pag. 69, Hauptmuschelkalk, Simmershofen, Mundseite.

28 desgleichen pag. 70, Hauptmuschelkalk, Crailsheim: *u* Unter-, *o* Oberseite.

29. *a* Stylolith pag. 70, Hauptmuschelkalk, Tiefenbach.

29 Palaeaster eucharis pag. 71, Hamilton Group, Copie: *r* Rücken, *x* vergrösserte Fühlergänge.

30 Palaeaster cf. eucharis pag. 72, Grauwacke, Lahnstein, Gypsmodell.

31 Asterias Rhenana pag. 72, Grauwacke, Kemmenau, Copie: *M. m* Mundseite, *r* Rücken.

32 Palaeaster Niagarensis pag. 73, Mittleres Uebergangsgebirge, Lockport, Copie: *x* vergrösserte Randplatten.

33 desgleichen pag. 73, daher, Copie: Mundseite der Armspitze.

34 Palasterina stellata pag. 74, Trentonlimestone, City of Ottawa, stark vergrössert, Copie.

35 Palasterina primaeva pag. 74, Ludlow rock, Underbarrow, Copie.

36 Protaster Miltoni pag. 75, Ludlow rock, Leintwardine, *x. y* vergrösserte Stücke.

37 Idealer Querschnitt der Arme von Ophiura pag. 75.

38 Idealer Querschnitt der Arme von Asterias pag. 75.

39 Aspidosoma Tischbeinianum pag. 76, Devonischer Thonschiefer, Bundenbach; *R* Rücken, *m* Bauchseite, *x* Rücken- und *y* Bauchseite der Arme vergrössert, *M* Madreporenplatte, *a* und *b* Randansicht.

40 Aspidosoma Arnoldii pag. 77, Grauwacke, Winningen, Copie: vergrösserte Stücke.

41 Aspidosoma cf Arnoldii pag. 77, Grauwacke, Lahnstein, Gypsabguss, *x* vergrössertes Armstück.

42 Asterias spinosissima pag. 81, Thonschiefer, Bundenbach, Copie.

43 Palaeocoma Marstoni pag. 81, Ludlow rock, Leintwardine, Copie: *x* ideales Bild.

Erklärung tab. 93.

Fig. 1 Asterias lumbricalis pag. 82, Unterer Lias α, Neindorf.
2 Asterias lanceolata pag. 84, daher, die kleinen lumbricalis.
3 Asterias lumbricalis pag. 84, daher.
4 desgleichen pag. 84, daher, Abdrücke.
5 Asterias rubens pag. 85, Nordsee, 1/3 natürlicher Grösse.
6 Euryale? liasica pag. 86, Lias α, Nürtingen.
7 desgleichen pag. 86, Lias α, Wangen.
8 Ophiura? pag. 86, Lias α, Hochberg.
9 Asterias annulata pag. 87, daher, verschiedene Stücke.
10 Asterias pag. 87, daher, erhabene Zöpfe, vertiefter Stern.
11 Asterias lumbricalis pag. 87, Angulatensandstein Lias α, Dewangen.
12 desgleichen pag. 87, daher, grosse Exemplare, s S Fährten.
13 desgleichen pag. 88, daher.
14 Asterias lumbricalis pag. 88, Angulatensandstein, Hüttlingen.
15 Asterias pag. 88, verschiedene Abgüsse, daher.
16 Asterias pag. 89, daher, nach der Grösse geordnet.
17 Asterias cf. lumbricalis pag. 90, daher.
18 Asterias pag. 90, daher, vierarmige Missbildung.
19 Asterias pag. 90, daher.
20 Asterias pag. 90, daher.
21 Asterias lumbricalis pag. 90, Eisenerz Brauner Jura β, Aalen.
22 Asterias pag. 91, Gelber Sandstein des Braunen Jura β, Heiningen.
23 Zöpfe pag. 91, Sandstein des Lias α, Hüttlingen, sechs Zöpfe übereinander.
24 Zöpfe pag. 92, Sandstein des Braunen Jura β, Boll.
25 Cidaritenstacheln pag. 92, daher, Hinterseite von fig. 24.
26 Palaeodiscus ferox pag. 93, Ludlow rock, Leintwardine, Mundseite, Copie.
27 Asterias antiqua pag. 93, Mittleres Uebergangsgebirge, Gothland, Copie.
28 Asterias quinquefolia pag. 94, Sandstein des Braunen Jura β, Heiningen, 3/5 natürlicher Grösse.
29 Uraster Graveyi pag. 85, Mittlerer Lias, Gloucestershire, Copie.
30 Solaster papposus pag. 95, Mittelmeer, Mundseite.
31 Plumaster ophiuroides pag. 95, Mittlerer Lias, Yorkshire, Copie.
32 Helianthaster Rhenanus, pag. 96, Uebergangsthonschiefer, Bundenbach, Copie.
33 Solaster Moretonis pag. 96, Great Oolite, Glocestershire, verkleinerte Copie.

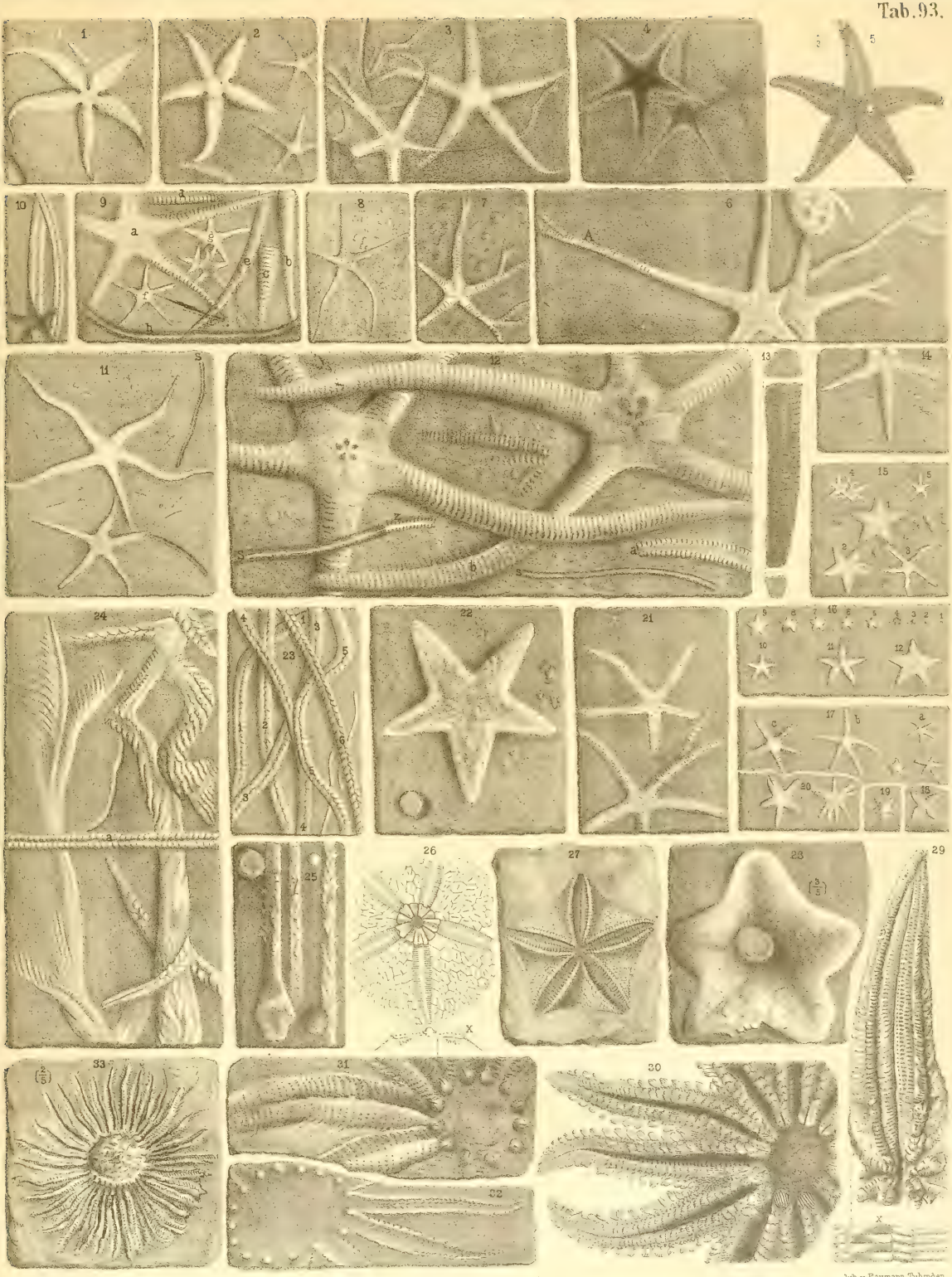

Druck v. C. Henzler.

lith v Baumann, Tübingen

Druck v. C. Henzler.

Lith. v. Baumann in Tübingen.

Erklärung tab. 94.

Fig. 1 Oreaster armatus pag. 98, Californien, *s* Stachel, *a* Adambulacra.
— 2 Oreaster Boysii pag. 99, Upper Chalk, Kent, Copie.
— 3 Oreaster pag. 99, daher, Copie.
— 4 Oreaster pistilliferus pag. 99, daher, Copie.
— 5 Oreaster ocellatus pag. 99, Upper Chalk, Sussex, Copie.
— 6 Oreaster pag. 99, daher, Copie.
— 7 Oreaster simplex pag. 100, unterer Pläner, Plauen, Copie.
— 8 Oreaster decoratus pag. 100, daher, Copie.
— 9 Oreaster thoracifer pag. 100, daher, Copie.
— 10 Oreaster circulatus pag. 100, Pläner, Helmstein.
— 11 Oreaster? pag. 101, Stachel, Neocom, Neuchatel.
— 12 Asterias scutata pag. 101, Weisser Jura ε, Oerlinger Thal, Haufwerk.
— 13 desgleichen pag. 102, daher, Haufen grubiger Platten.
— 14 desgleichen pag. 102, daher, Einzelplatte.
— 15 desgleichen pag. 102, Weisser Jura ε, Steinweiler.
— 16 desgleichen pag. 102, Weisser Jura ε, Oerlinger Thal, Adambulakrum.
— 17—22 desgleichen pag. 103, daher, verschiedene Platten.
— 23 desgleichen pag. 103, daher, ausgeschweifte Platte.
— 24—36 desgleichen pag. 103, daher, verschiedene grössere Platten.
— 37 u. 38 desgleichen pag. 105, daher, kleinere Platten.
— 39 u. 40 Kappen pag. 105, daher, zweifelhaft.
— 41—46 desgleichen pag. 105, daher, Stacheln.
— 47 Cidaritenstachel pag. 106, Weisser Jura ε, Nattheim.
— 48—50 Asterias scutata pag. 106, daher.
— 51 Assel pag. 106, daher, problematisch.
— 52 u. 53 Asterias scutata pag. 106, Weisser Jura γ, Bosler, *a* Stachel.
— 54 Assel pag. 107, Weisser Jura ε, Oerlinger Thal, problematisch.
— 55 Sphaerites punctatus pag. 107, Weisser Jura α, von zwei Seiten o und u.
— 56 desgleichen pag. 109, Weisser Jura γ, Hossingen, *a* Aptychus.
— 57—70 desgleichen pag. 109, Weisser Jura α, Lochen etc.
— 71 Stachelassel pag. 110, Lochen.
— 72 u. 73 Asseln pag. 110, Lochen.
— 74—98 Asterias tabulata pag. 110, Weisser Jura α, Lochen etc.
— 99—104 Asterias annulosa pag. 112, Weisser Jura α, Lochen etc.
— 105—110 Asterias pustulata pag. 113, Weisser Jura ε, Nattheim und Oerlinger Thal.
— 111—114 desgleichen pag. 113, Weisser Jura ε, Nattheim.
— 114. *a* Asterias stellifera pag. 114, Weisser Jura ε, Oerlinger Thal.
— 115—121 Asterias stellifera pag. 114, Weisser Jura ε, Nattheim Sirchingen.
— 122—142 Asterias digitata pag. 115, Weisser Jura ε, Oerlinger Thal.
— 143 u. 144 Asterias pag. 117, daher.
— 145 Asterias digitata pag. 117, Weisser Jura ε, Bitz.
— 146—151 Sphaeraster juvenis pag. 119, Weisser Jura α, Lochen, 8seitige Tafeln.
— 152 desgleichen pag. 119, daher, 8seitige Tafel mit Loch.
— 153—159 desgleichen pag. 120, daher, 7seitige Tafeln mit Loch.
— 160—166 desgleichen pag. 121, daher, 7seitige Tafeln.
— 167—173 desgleichen pag. 121, daher, 6seitige Tafeln.
— 174—181 desgleichen pag. 122, daher, breite 6seitige Tafeln.
— 182—188 desgleichen pag. 122, daher, 5seitige Tafeln.
— 189 desgleichen pag. 123, daher, 5seitige Tafel von innen.
— 190—194 desgleichen pag. 123, daher, 5seitige Afterplatten.
— 195 desgleichen pag. 124, daher, Zusammenstellung.
— 196—201 desgleichen pag. 124, daher, verschiedene Tafeln.
— 202 u. 203 desgleichen pag. 125, Weisser Jura α, Benzenzimmern.
— 204 u. 205 desgleichen pag. 125, Weisser Jura ε, Oerlinger Thal.

Erklärung tab. 95.

Fig. 1 Ophiocoma scolopendrina crassispina pag. 130, Barbadoes: *k* Kiefer, *r* Rücken, *x* Bauchseite, *v* vordere, *h* hintere Querscheidewand.
2 Ophioderma brevicauda pag. 128, Barbadoes: *b* vergrösserte Bauchseite, *x* zwei Kiefer; *r* Rücken, *y* vergrösserte Knötchen.
3 Ophiolepis lacertosa pag. 129, Norwegen: *x* Rücken vergrössert, *y* Arm von unten vergrössert.
4 Ophiolepis albida pag. 130, Norwegen, *x* vergrösserte Mundseite.
5 Ophiura squamata pag. 130, Norwegen, *x* vergrösserte Centralschuppe.
6 Ophiothrix fragilis pag. 131, Rückenseite, Norwegen.
7 desgleichen pag. 131, daher, Mundseite, *x* Mund vergrössert.
8 Ophiopholis scolopendrica pag. 131, Nordsee, *r* vergrösserte Rückenschienen.
9 desgleichen pag. 131, daher, vergrösserte Rückenseite der Scheibe.
10 Ophiocoma nigra pag. 131, Nordsee, vom Rücken.
11 Protaster Sedgwickii pag. 133, Balakalkstein, Copie.
12 Protaster leptosoma pag. 133, Lower Ludlowrock, Leintwardine, Copie.
13 Protaster Forbesi pag. 134, Helderberg Rocks, Litchfield, Copie.
14 desgleichen pag. 134, daher, Copie, *x* vergrössertes Armstück.
15 Ophiura Egertoni pag. 134, Mittlerer Lias, Bridport, vom Rücken.
16 desgleichen pag. 134, daher, von der Bauchseite.
17 Ophiura Gaveyi pag. 135, Unterer Lias, Gloucester Shire.
18 Ophiura Egertoni pag. 136, Mittlerer Lias, Bridport.
19 Ophiura ventrocarinata pag. 136, Unterer Lias α, Hüttlingen, wahrscheinlich Rücken.
20 Ophioderma Escheri pag. 137, Lias α, Schambelen.
21 desgleichen pag. 137, daher, Mundseite, *b* Armstück vergrössert.
22 desgleichen pag. 138, daher, Rückenseite, *x* vergrösserte Scheibe.
23 desgleichen pag. 137, daher, Seitenschiene von innen.
24 desgleichen pag. 137, daher, Seitenschiene von aussen.
25 desgleichen pag. 138, daher, Rücken eines Armstücks.
26 Ophiura olifex pag. 138, Oelschiefer des Lias α, Dusslingen.
27 Ophiura cf. Egertoni pag. 138, Leptaenenbed Lias δ, Hechingen.
28 Ophiura spongiosa α pag. 139, Weisser Jura α, Lochen: Armstück, *r* Rücken, *s* Seite, *b* Bauch.
29 Ophiura spongiosa ε pag. 140, Weisser Jura ε, Oerlinger Thal.
30 Ophiura cf. spongiosa pag. 140, Weisser Jura ζ, Blaubeuren.
31 Ophiura pag. 140, daher.
32 Ophiura annulata pag. 141, Weisser Jura ε, Hochsträss.
33 Ophiura annulata pag. 140, Weisser Jura ζ, Blaubeuren.
34 desgleichen pag. 142, daher.
35 desgleichen pag. 142, daher.
36 Ophiura planata pag. 142, Weisser Jura ζ, Hochsträss.
37 desgleichen pag. 142, daher.
38 Ophiura speciosa pag. 143, Weisser Jura ζ, Solnhofen, Copie.
39 Ophiura carinata pag. 143, Weisser Jura ζ, Eichstedt.
40 Ophiura serrata pag. 144, Kreide, Hannover, Copie, *r* Rücken, *b* Bauch.
41 Ophiura granulosa pag. 144, Kreide, Rügen, Copie.
42 Ophiura subcylindrica pag. 145, daher, Copie.
43 Ophiura granulosa pag. 145, Kreide, Lindnerberg, Copie.
44 Ophiura Fürstenbergii pag. 145, Grünsand, Vaels, Copie.
45 Ophiura Wetherelli pag. 145, Londonthon, England, Copie.
46 Ophiura Libanotica pag. 146, Tertiär, Libanon, Copie.
47 Ophiura elegans pag. 146, daher, Copie.
48 Ophiura scutellata pag. 146, Muschelkalk, Wachbach, *y* Mund, *x* Rücken.
49 desgleichen pag. 148, Muschelkalk, Neckarweihingen, abgewittert.
50 desgleichen pag. 147, Muschelkalk, Horb.
51 desgleichen pag. 148, Muschelkalk, Canstatt, Steinkerne.
52 Ophiura Ludeni pag. 149, Wellenkalk, Jena, Copie.
53 Ophiura squamosa pag. 149, Muschelkalk, Schlotheim.
54 Ophiura Hauchecorni pag. 150, Schaumkalk Rüdersdorf.

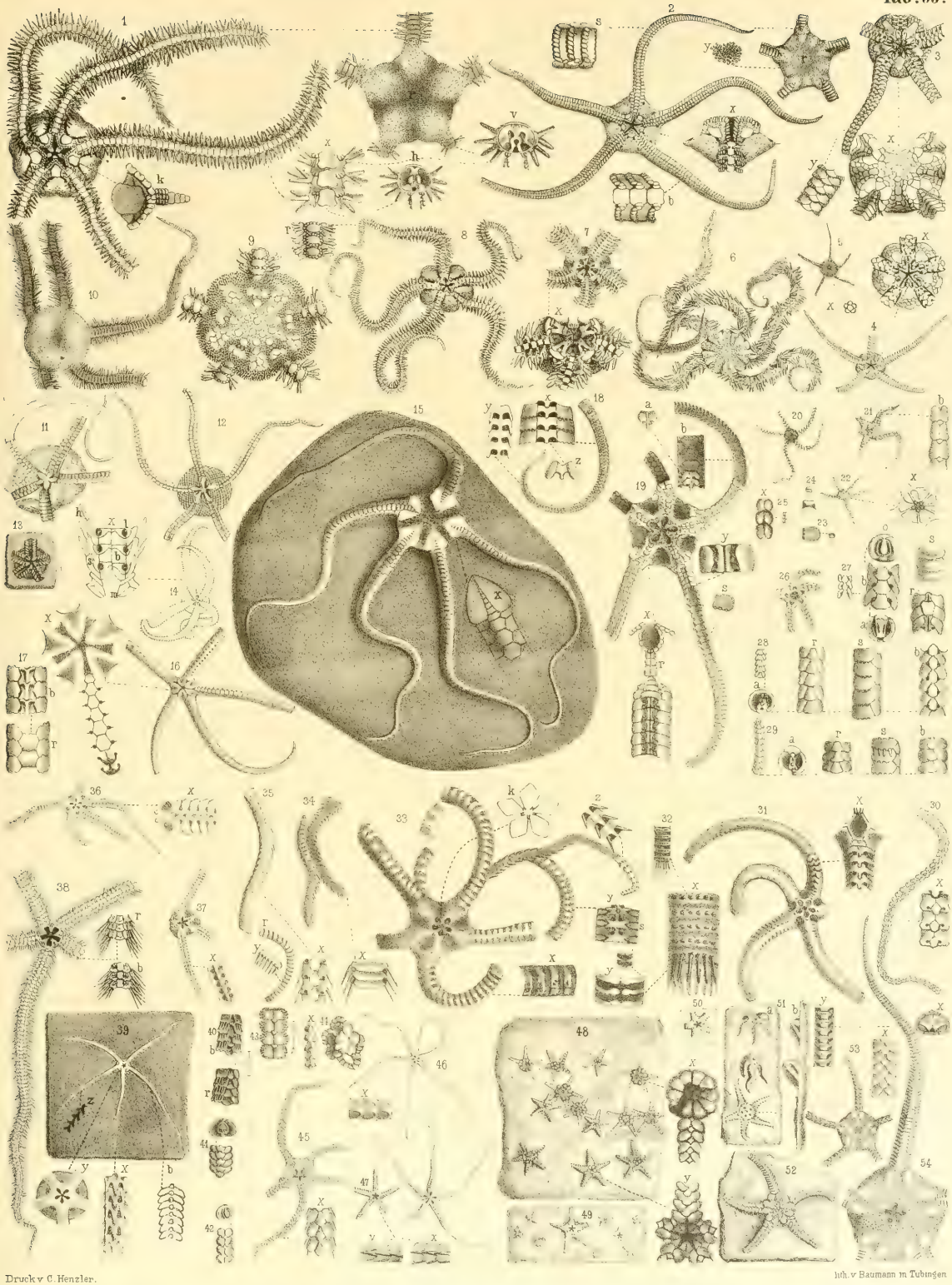

Druck v C. Henzler.

lith. v Baumann in Tübingen

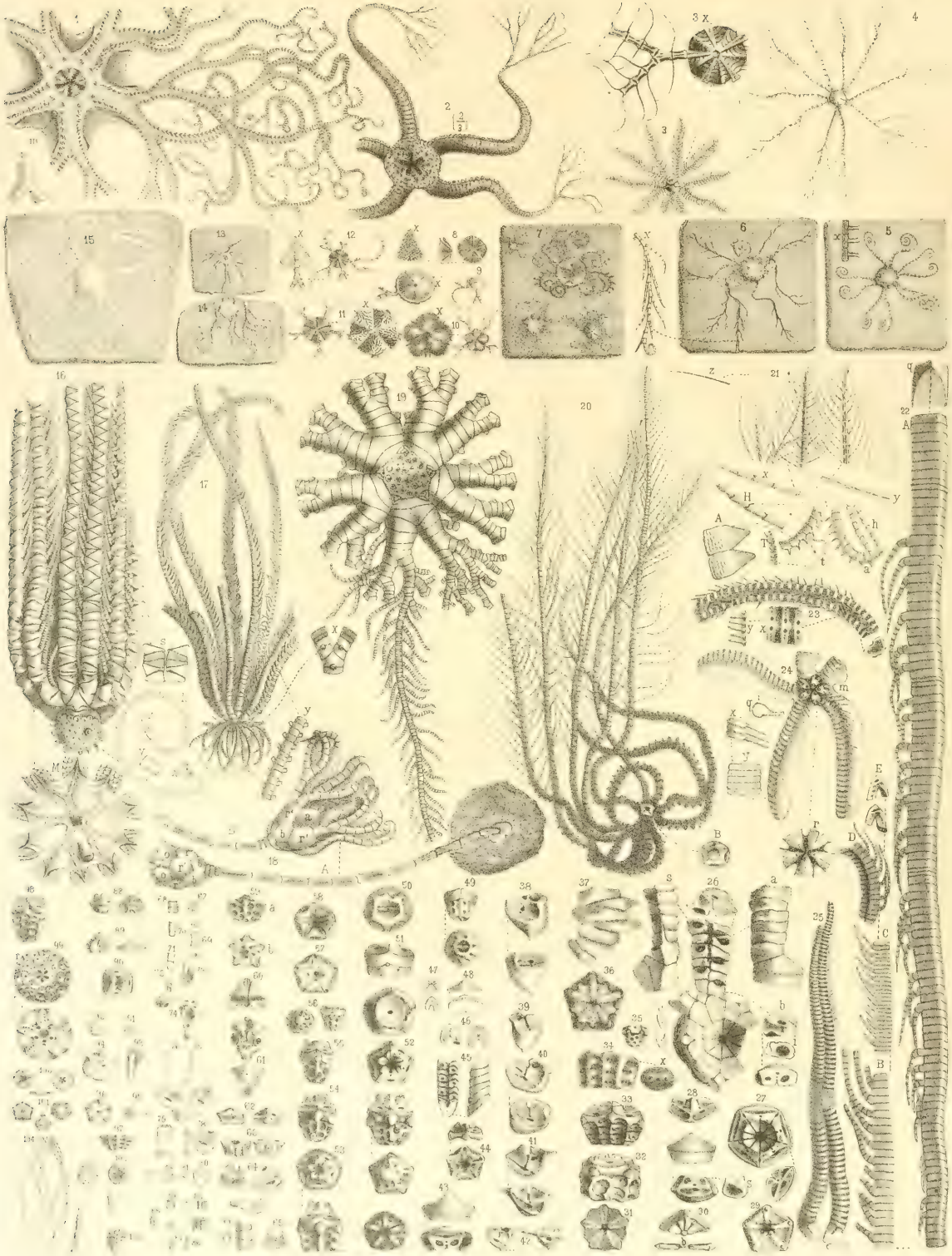

Druck v. C. Henzler.

lith v. Baumann.

Erklärung tab. 96.

Fig. 1 Euryale cf. Mediterranea pag. 152, lebend, Mundseite, *m* Madreporenplatte, *r* Rückenseite.
— 2 Euryale (Trichaster) palmiferum pag. 152, lebend, Copie in $^2/_3$ natürlicher Grösse.
— 3 Saccocoma tenella pag. 154, Solnhofer Schiefer, Copie nach Goldfuss.
— 4 Saccocoma pectinata pag. 155, daher, desgleichen.
— 5 desgleichen pag. 155, daher, *x* vergrösserte Armglieder.
— 6 desgleichen pag. 156, daher, *x* vergrösserter Arm.
— 7 desgleichen pag. 156, Solnhofer Schiefer, Eichstedt.
— 8 desgleichen pag. 156, daher, *x* vergrösserter Sector.
— 9 Saccocoma cf. tenella pag. 157, Solnhofen.
— 10 Saccocoma pectinata pag. 157, daher, Mundseite.
— 11 desgleichen pag. 157, daher, Abdruck der Mundseite.
— 12 desgleichen pag. 157, Solnhofer Schiefer, Eichstedt, *x* vergrösserter Sector.
— 13 Saccocoma cf. tenella pag. 157, daher.
— 14 Saccocoma pag. 158, daher.
— 15 Saccocoma pectinata pag. 158, daher, roh mit Kalkspath überzogen.
— 16 Comatula Eschrichtii pag. 165, lebt in Grönland, *s* Syzygium, *x y z* vergrösserte Theile des Hilfsarmes, M Mundseite mit Afterschlauch.
— 17 Comatula mediterranea pag. 164, Mittelmeer, *x* Gabelung der Arme mit dunkelgehaltenem Syzygium.
— 18 Antedon rosaceus pag. 165, Nordsee, Copie: *b* Basalia, *r'* erste Radialia, *o* Mundplatten, *a* Analplatte.
— 19 Comatula multiradiata pag. 165, Copie.
— 20 Comatula pinnata pag. 167, Weisser Jura ζ, Solnhofen: *B* Becken vergrössert.
— 21 desgleichen pag. 168, daher: *a A* Arme, *h H* Hilfsarme, *t T* Nebenfäden, *x y* Pinnulae.
— 22 Comatula longimana pag. 169, Weisser Jura ζ, Hochsträss. Vergleiche Apiocrinus mespiliformis.
— 23 Ophiurites crinitus pag. 170, Weisser Jura ζ, Steinenfeld.
— 24 desgleichen pag. 170, daher: *m* Mundseite, *r* Rücken; *x* und *y* Seiten.
— 25 desgleichen pag. 171, daher, vom Rücken.
— 26 Solanocrinus costatus pag. 172, Weisser Jura ε, Nattheim, *a s* Arm, *b* erstes Armglied.
— 27 desgleichen pag. 174, daher, erste Kelchradiale.
— 28 desgleichen pag. 174, daher, 2tes und 3tes Kelchradial.
— 29 desgleichen pag. 174, daher, Basalbeine.
30 desgleichen pag. 173, daher, Durchschnitt der Säule.
— 31 desgleichen pag. 173, daher, obere Gelenkfläche der Säule.
— 32 desgleichen pag. 173, daher, Säule mit Basilar und Kelchradial.
— 33 desgleichen pag. 173, daher.
— 34 desgleichen pag. 173, Weisser Jura ε, Schnaitheim, Säule.
— 35 desgleichen pag. 175, Weisser Jura ε, Nattheim, jung.
— 36 desgleichen pag. 173, daher, Stiel von der Unterseite.
— 37 desgleichen pag. 175, daher, Armglieder.
— 38—42 desgleichen pag. 175, daher, einzelne Armglieder.
— 43 desgleichen pag. 175, Weisser Jura ε, Oerlinger Thal, Doppelgelenk.
— 44 desgleichen pag. 176, daher, Stielgelenk mit Basalen.
— 45 desgleichen pag. 176, daher, zusammenhängende Armglieder.
— 46 u. 47 desgleichen pag. 176, Weisser Jura ε, Schnaitheim Armglieder.
— 48 desgleichen pag. 176, daher, isolirtes Doppelgelenk.
— 49 Comatula sigillata pag. 176, daher.
— 50 desgleichen pag. 177, Weisser Jura ε, Nattheim, Stiel von unten.
— 51 Solanocrinus Jaegeri pag. 177, daher.
— 52 Solanocrinus scrobiculatus pag. 177, Weisser Jura α, Lochen.
— 53—56 desgleichen pag. 178, daher, verschiedener Grösse.
— 57 u. 58 desgleichen pag. 179, daher, Basen des Kelches.
— 59 desgleichen pag. 179, daher, Säule.
— 60 desgleichen pag. 179, daher, durchgebrochenes Kelchstück.
— 61 desgleichen pag. 179, daher, drei Kelchradiale.
— 62 desgleichen pag. 179, daher, Doppelgelenk.
— 63 desgleichen pag. 180, daher, zweites Kelchradial.
— 64—68 desgleichen pag. 180, daher, Armglieder.
— 69—72 desgleichen pag. 181, daher, Hilfsarmglieder.
— 73 u. 74 desgleichen pag. 181, daher, kranke Hilfsarmglieder.
— 75 u. 76 Schlanke Glieder pag. 181, daher.
— 77—87 Solanocrinus asper pag. 182, daher, Gliederstücke.
— 88 desgleichen pag. 183, daher, Kelch.
— 89 desgleichen pag. 183, Weisser Jura α, Birmensdorf, drittes Kelchradial.
— 90 desgleichen pag. 183, Weisser Jura α, Lochen, vierseitig.
— 91—97 Solanocrinus Bronnii pag. 181, Mittlerer Weisser Jura, Lützel.
— 98 Comaster Retzii pag. 183, Grünsand Köpinge, Copie.
— 99 Glenotremites paradoxus pag. 183, Kreidemergel, Spelldorf, Copie.
— 100 Glenotremites rosaceus pag. 184, Unterer Pläner, Plauen, Copie.
— 101 Hertha mystica pag. 184, Kreide, Rügen, Copie.
— 102 Comatula Brownii pag. 185, Coralline Crag, Sutton.
— 103 Alecto alticeps pag. 185, Jungtertiär, Palermo, Copie.
— 104 Comaturella Wagneri pag. 185, Solnhofer Schiefer, Copie.

Erklärung tab. 97.

Fig. 1 Holopus Rangii pag. 185, Meer von Martinique, Copie.
— 2 Pentacrinus caput Medusae pag. 189, Antillenmeer. Copie (¹/₃ natürlicher Grösse).
— 3 desgleichen pag. 189, Copie eines Strahles nach Müller: *p* pelvis, *r' r''* Rippen, *s* scapula *a* Arm, *h*¹ *h*² Hände, *f*¹ *f*² *f*³ Finger.
— 4 desgleichen pag. 190, Strahl copirt von J. Müller.
— 5 Pentacrinus Briareus pag. 192, Unterer Lias, von Charmouth, Copie,
— 6 Pentacrinus subangularis pag. 192, Lias ε. Ohmden. ein Strahl, *kk* kleine Arme.
— 7 Pentacrinus tuberculatus pag. 193, Lias α, Pyrton Passage, Copie.
— 8 Pentacrinus subangularis pag. 195, Hilfsarme hart unter der Krone am Stiele sitzend.
— 9 Pentacrinus Sigmaringensis pag. 193, Weisser Jura ε ζ, Sotzenhausen, Kronenstück.
— 10 desgleichen pag. 193, daher, Säule mit Hilfsarmen.
— 11 u. 12 desgleichen pag. 193, Weisser Jura ε ζ, Nollhaus.
— 13 Pentacrinus Fisheri pag. 193, Oxfordclay, Weymouth.
— 14 Pentacrinus dubius pag. 197, Muschelkalk, Waltershausen.
— 15 desgleichen pag. 198, Wellenkalk, Deubach.
— 16 desgleichen pag. 198, Muschelkalk, Sachsenburg.
— 17 u. 18 desgleichen pag. 199, Muschelkalk, Recoaro.
— 19 desgleichen pag. 198, Wellenkalk, Rüdersdorf.
— 20—22 desgleichen pag. 199, Muschelkalk, Beuthen.
— 23—28 Pentacrinus propinquus pag. 199, Obere Trias, St. Cassian.
— 29—33 Pentacrinus laevigatus pag. 200, daher.
— 34 Pentacrinus priscus pag. 200, Devonischer Kalk, Eifel, Copie.
— 35 Pentacrinus psilonoti pag. 205, Lias α, Tübingen.
— 36 Pentacrinus angulati pag. 205, Lias α, Göppingen.
— 37 desgleichen pag. 205, Lias α, Hüttlingen, ein copirter Strahl.
— 38 Pentacrinus tuberculatus pag. 201, Lias α, Bebenhausen, Stück aus einer Bank.
— 39 desgleichen pag. 205, Lias α, Vaihingen, Krone und *a* Säule.
— 40 desgleichen pag. 206, daher, Armstück.
— 41 desgleichen pag. 202, daher, dicker Entrochit.
— 42 desgleichen pag. 202, daher, angeschliffen mit 5 Kanälen.
— 43 desgleichen pag. 202, Lias α, Dusslingen, gekerbtes Blatt.
— 44 desgleichen pag. 203, daher, sechsseitig.
— 45 u. 46 desgleichen pag. 202, daher.
— 47 desgleichen pag. 206, Lias α, Vaihingen, Hilfsarme, *x y z* vergrösserte Glieder.
— 48 desgleichen pag. 203, Lias α, Bebenhausen.
— 49 u. 50 desgleichen pag. 204, Lias α, Adelhausen.
— 51 desgleichen pag. 203, Lias α, verdrückt.
— 52 desgleichen pag. 203, Lias α, Dusslingen, mit Schwefelkiesharnisch.
— 53 desgleichen pag. 203, Lias α, Bebenhausen.
— 54 desgleichen pag. 204, Lias α, Eberbach.
— 55 desgleichen pag. 207, Lias α, Bebenhausen, Hilfsarmglied.
— 56 desgleichen pag. 207, Lias α, kranke Hilfsarmglieder.
— 57—59 desgleichen pag. 207, Lias α, Hilfsarmglieder.
— 60—63 desgleichen pag. 207, Lias α, Tentakelglieder.
— 64—74 desgleichen pag. 208, Lias α, Bebenhausen, Armglieder.
— 75 desgleichen pag. 208, daher, Armglied mit Syzygalnaht.
— 76 desgleichen pag. 209, daher, zwei Armgelenke mit Syzygalnaht.
— 77 u. 78 desgleichen pag. 209, daher, Doppelgelenke (Axillaria).
— 79 desgleichen pag. 209, daher, unterstes Kelchradial.
— 80 desgleichen pag. 209, Längsschnitt eines Trochiten.
— 81 desgleichen pag. 209, mikroskopische Gittertextur im Längsschnitt.
— 82 desgleichen pag. 209, mikroskopischer Querschnitt eines Trochitenblattes.

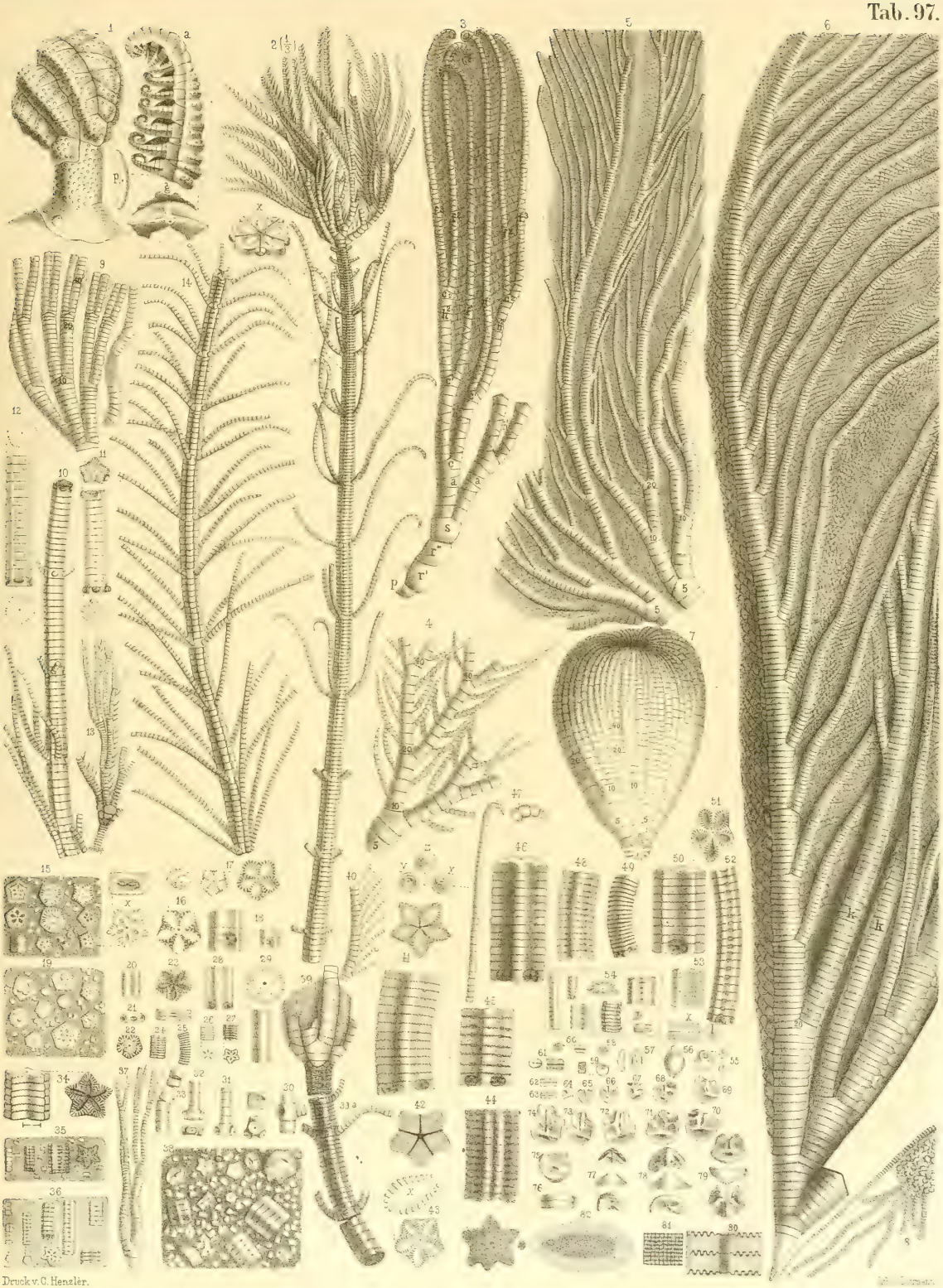

Druck v. C. Henzler.

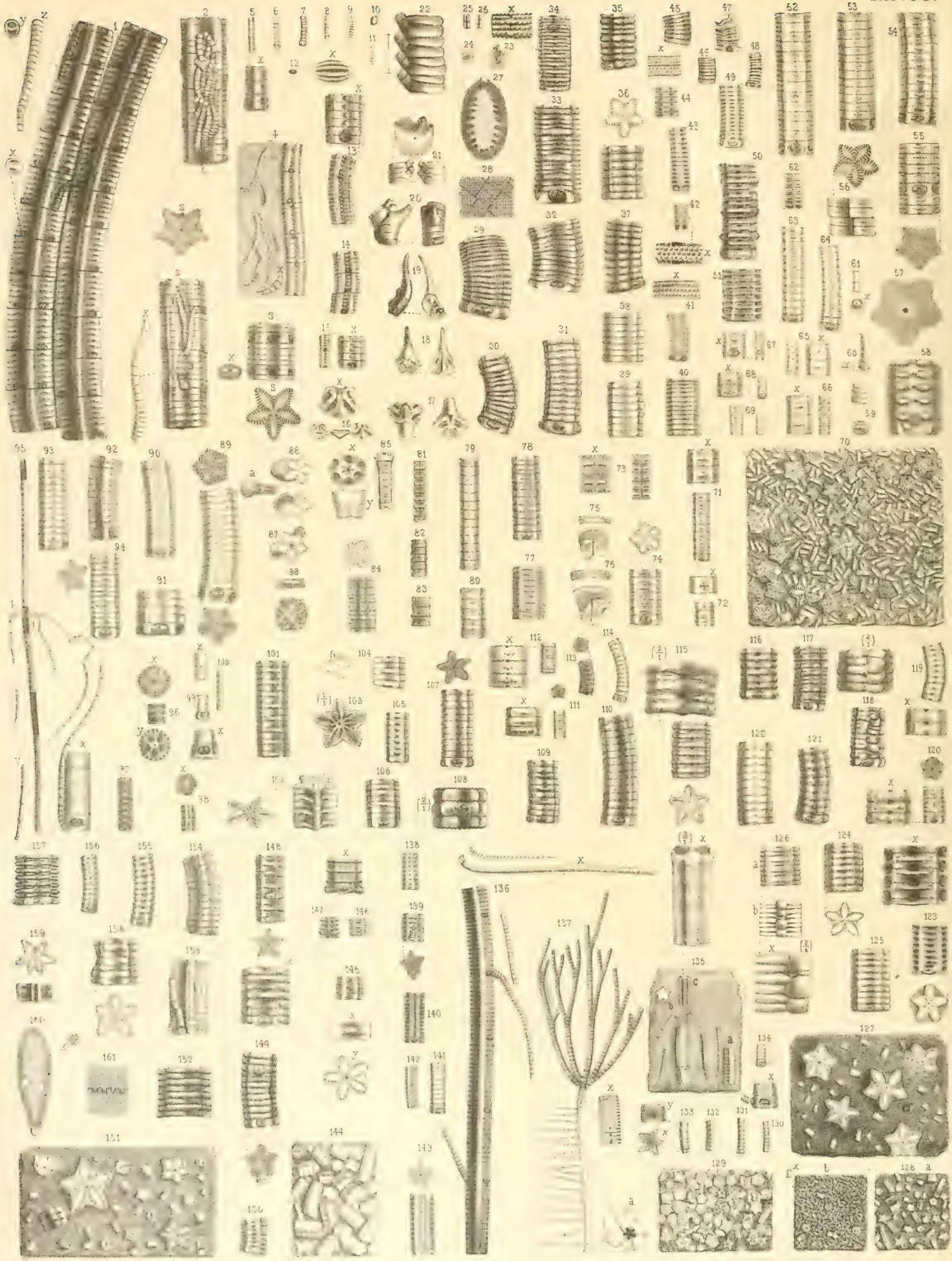

Druck v. C Henzler

lith v. Baumann.

Erklärung tab. 98.

Fig. 1 Pentacrinus scalaris pag. 209, Lias β oben, Breitenbach.
— 2 desgleichen pag. 211, daher, vier sechsgliedrige Entrochiten, *s* Syzygalnahtfläche.
— 3 desgleichen pag. 212, Lias β, Wellendingen, Syzygalnaht über der Gelenknarbe.
— 4 u. 5 desgleichen pag. 212, Lias β, Dürnau, *x* Krallenglied.
— 6—9 desgleichen pag. 213, Lias β, Grosselfingen, Brut.
— 10 u. 11 desgleichen pag. 213, daher, Hilfsarme.
— 12 Epizoen pag. 213, daher,
— 13—15 Pentacrinus scalaris pag. 213, Lias β, Ofterdingen, Brut.
— 16 desgleichen pag. 214, Lias β, Grosselfingen, unterstes Kelchradial.
— 17 desgleichen pag. 214, Lias β, Balingen, Doppelgelenk.
— 18—21 desgleichen pag. 214, Lias β, Breitenbach.
— 22 desgleichen pag. 215, daher, vergrössertes Armstück.
— 23—26 desgleichen pag. 215, Lias β, Grosselfingen.
— 27 u. 28 desgleichen pag. 215, daher, vergrösserte Quer- und Längsschnitte.
— 29 u. 30 Pentacrinus moniliferus pag. 215, Lias β, Ofterdingen.
— 31 desgleichen pag. 216, Lias β, Grosselfingen.
— 32—34 desgleichen pag. 216, Lias β, Grosseislingen.
— 35 u. 36 Pentacrinus perlatus pag. 217, Lias β, Balingen etc.
— 37 desgleichen pag. 217, Lias, Mende.
— 38—40 Pentacrinus cf. perlatus pag. 217, Lias β.
— 41—44 Pentacrinus punctiferus pag. 218, Lias γ, Hinterweiler etc.
— 45 u. 46 Pentacrinus cf. punctiferus pag. 218, Lias γ, daher.
— 47—49 Pentacrinus margopunctus pag. 219, Lias γ, daher.
— 50 u. 51 Pentacrinus cf. margopunctus pag. 219, daher.
— 52—56 Pentacrinus basaltiformis pag. 220, Lias δ, unten, Geislingen etc.
— 57 u. 58 desgleichen pag. 221, Lias δ, durch Kies entstellt.
— 59—61 desgleichen pag. 221, daher, Hilfsarmstücke.
— 62—69 desgleichen pag. 222, daher, junge Exemplare.
— 70 desgleichen pag. 222, Mittlerer Lias, Cheltenham.
— 71 u. 72 desgleichen pag. 223, Numismalisbänke γ, Hechingen.
— 73—76 desgleichen pag. 223, Lias δ, Dormettingen etc.
— 77 u. 78 P. basaltiformis margopunctus pag. 224, daher.
— 79—83 P. basaltiformis subrotundus pag. 224, daher etc.
— 84 u. 85 Pentacrinus basaltiformis pag. 225, daher etc.
— 86 u. 87 Pentacrinus basaltiformis pag. 225, daher etc., krank.
— 88 desgleichen pag 225, vierseitiges Glied, Mittlerer Lias.
— 89 P. basaltiformis nudus pag. 226, Leptaenenbed Lias δ, Hechingen.
— 90 u. 91 desgleichen pag. 226, Lias δ, Göttingen.
— 92—94 desgleichen pag. 227, oberer Lias, Mende.
— 95 Pentacrinus subteroides pag. 227, Lias δ, Wasseralfingen.
— 96—100 desgleichen pag. 228, Lias δ, Breitenbach etc.
— 101 Pentacrinus jurensis pag. 228, Lias ζ, Rosswangen.
— 102—104 desgleichen pag. 229, Lias ζ, Schömberg.
— 105 u. 106 desgleichen pag. 229, Lias ζ, Rosswangen.
— 107—114 desgleichen pag. 230, Lias ζ, Dörlbach.
— 115—122 desgleichen pag. 231, Aalensisschicht des Lias ζ, Heiningen.
— 123—126 desgleichen pag. 233, Lias ζ, Fontaine-Etoupefour.
— 127 desgleichen pag. 233, Lias ζ, Holzmaden, Bank.
— 128 Pentacrinus pentagonalis opalinus pag. 234, Brauner Jura α, Gammelshausen.
— 129 desgleichen pag. 235, Brauner Jura α, Teufelsloch.
— 130—134 desgleichen pag. 235, Brauner Jura α, Schlatt.
— 135 u. 136 P. pentagonalis ferratus pag. 235, Brauner Jura β, Wasseralfingen.
— 137 P. pentagonalis personatus pag. 236, Brauner Jura β, Heininger Wald.
— 138—144 P. pentagonalis cristagalli pag. 237, Brauner Jura δ, Eningen, Wasseralfingen etc.
— 145—150 Pentacrinus nodosus pag. 238, Brauner Jura δ, Gosheim, Egg etc.
— 151—159 P. astralis ornati pag. 240, Brauner Jura ζ, Pfullingen etc.
— 160 desgleichen pag. 241, daher, vergrösserter Querschliff, *x* Poren eines Blattes.
— 161 desgleichen pag. 241, daher, vergrösserter Längsschliff mit Blattzähnen.

Erklärung tab. 99.

Fig. 1—5 Pentacrinus pentagonalis pag. 241, Ornatenthon, Birsthal.
— 6 u. 7 desgleichen pag. 242, Ornatenthon, Salins.
— 8 u. 9 desgleichen pag. 242, Ornatenthon, Présentevillers.
— 10 u. 11 desgleichen pag. 242, Brauner Jura ε, Parkinsonschicht, Achalm.
— 12 u. 13 desgleichen pag. 242, Brauner Jura ε, Macrocephalusschicht, Achalm.
— 14 u. 15 desgleichen pag. 243, Ornatenthon, Oeschingen.
— 16 u. 17 desgleichen pag. 243, Weisser Jura ζ, Seeburg.
— 18 Pentacrinus cf. pentagonalis pag. 243, Weisser Jura ε, Muggendorf.
— 19 u. 20 desgleichen pag. 243, daher, Sirchingen.
— 21—24 Pent. pentagonalis Fürstenbergensis pag. 244, Macrocephalusschicht, Gutmadingen.
— 25 Pentacrinus cf. cingulatissimus pag. 244, daher.
— 26 u. 27 Pentacrinus subteres pag. 245, Weisser Jura α, Geislingen, schwarz.
— 28—31 desgleichen pag. 245, Grenze vom Braunen und Weissen Jura, Lautlingen, gelbweiss.
— 32—34 desgleichen pag. 246, Ornatenthon, Pfullingen, gelbe Brut.
— 35 desgleichen pag. 246, Oberer Brauner Jura, Czestochowa, das mittlere ein Hilfsarmglied.
— 36—39 desgleichen pag. 246, Ornatenthon, Plettenberg.
— 40—43 desgleichen pag. 247, Weisser Jura α, Lochen etc.
— 44 desgleichen pag. 247, Weisser Jura α, Birmensdorf.
— 45—49 desgleichen pag. 247, Weisser Jura α, Reichenbach im Thäle.
— 50 u. 51 desgleichen pag. 248, Weisser Jura α, Eybach und Pfullingen.
— 52 u. 53 desgleichen pag. 248, Weisser Jura γ, Spitze des Hohenstaufen.
— 54 desgleichen pag. 248, Mittlerer Weisser Jura, Schalksburg.
— 55 desgleichen pag. 249, Weisser Jura, Längsschliff mit Nahrungskanal.
— 56—70 Pentacrinus cingulatus pag. 249, Weisser Jura α, Böllert.
— 71 u. 72 desgleichen pag. 252, daher, viertheilig.
— 73 desgleichen pag. 252, daher, verkrüppelt viertheilig.
— 74 u. 75 desgleichen pag. 252, daher, Kronenglieder.
— 75.*a*—77 desgleichen pag. 252, daher, Hilfsarme.
— 78—86 P. cingulatus paucitrochus pag. 253, Weisser Jura α, Hörnle.
— 87—90 Pentacrinus cingulatissimus pag. 253, Weisser Jura α, Birmensdorf.
— 91 u. 92 Pentacr. cingulatus γ pag. 254, Weisser Jura γ, Bosler.
— 93—98 Pent. cingulatus multitrochus pag. 255, Weisser Jura δ, Wiesensteig.
— 99—105 desgleichen pag. 255, Weisser Jura δ, Kohlstetten.
— 106—108 Pent. cingulatus paucitrochus pag. 256, Weisser Jura γ, Oberlenningen.
— 109—111 Pentacrinus cinctus pag. 256, Weisser Jura α, Lochen.
— 112 desgleichen pag. 257, Weisser Jura ε, Oerlinger Thal.
— 113 Pentacrinus cf. cingulatus pag. 258, Weisser Jura ε, Schnaitheim.
— 114 u. 115 Millericrinus Nodotianus pag. 258, Weisser Jura ε, Nattheim.
— 116—118 Pentacrinus nodosus pag. 259, Grande Oolite, Ranville.
— 118. *a* desgleichen pag. 259, Weisser Jura, Goslar.
— 119—126 Pentacrinus astralis pag. 259, Weisser Jura ε, Schnaitheim; 122.*a* Montecchio maggiore.
— 127—131 Pentacrinus Sigmaringensis pag. 260, Weisser Jura ζ, Nollhaus.
— 132 Pentacrinus Sigmaringensis pag. 261, Weisser Jura ζ, Sotzenhausen bei Blaubeuren.
— 133—137 desgleichen pag. 261, Weisser Jura ζ, Nollhaus.
— 138—142 Pentacrinus annulatus pag. 263, Hilsthon, Elligser Brink.
— 143 u. 144 desgleichen pag. 264, Hilsthon, Rauthenberg.
— 145 Pentacrinus perlatus pag. 264, daher.
— 146—150 Pentacrinus carinatus pag. 264, Oberer Grünsand, Weddersleben.
— 151—154 Pentacrinus Agassizii pag. 265, Weisse Kreide, Rügen.
— 155 Pentacrinus pag. 265, Kreideformation, Blauer Schnee.
— 156—162 Pentacrinus Bronnii pag. 265, Weisse Kreide, Rügen.
— 163 desgleichen pag. 267, Chalk, England, Copie.
— 164—166 Pentacrinus didactylus pag. 268, Nummulithenkalk, Biarritz, Copie.
— 167 Pentacrinus subbasaltiformis pag. 267, Londonthon, Copie.
— 168 Pentacrinus Oakeshottianus pag. 268, Eocen, Chalk Farm, Copie.
— 169 Pentacrinus Sowerbyi pag. 268, Londonthon, Copie.
— 170 Pentacrinus tridactylus pag. 268, Tertiär, Le Vit.
— 171 Pentacrinus cingulatus Schafhtl. pag. 269, Nummulithenkalk, Kressenberg.
— 172 Cainocrinus tintinnabulum pag. 269, Londonclay, Copie.
— 173 Pentacrinus pag. 267, Chalk, Sussex, Copie.
— 174 Pentacrinus pag. 262, Weisser Jura ζ, Sotzenhausen.
— 175 Pentacrinus Briareus Franconicus pag. 276, Lias ε, Ohmden.
— 176 desgleichen pag. 276, Lias ε, Franken, Hilfsarm, Copie.
— 177 Pentacrinus Briareus minutus pag. 279, Lias ε, Holzmaden, Brut.

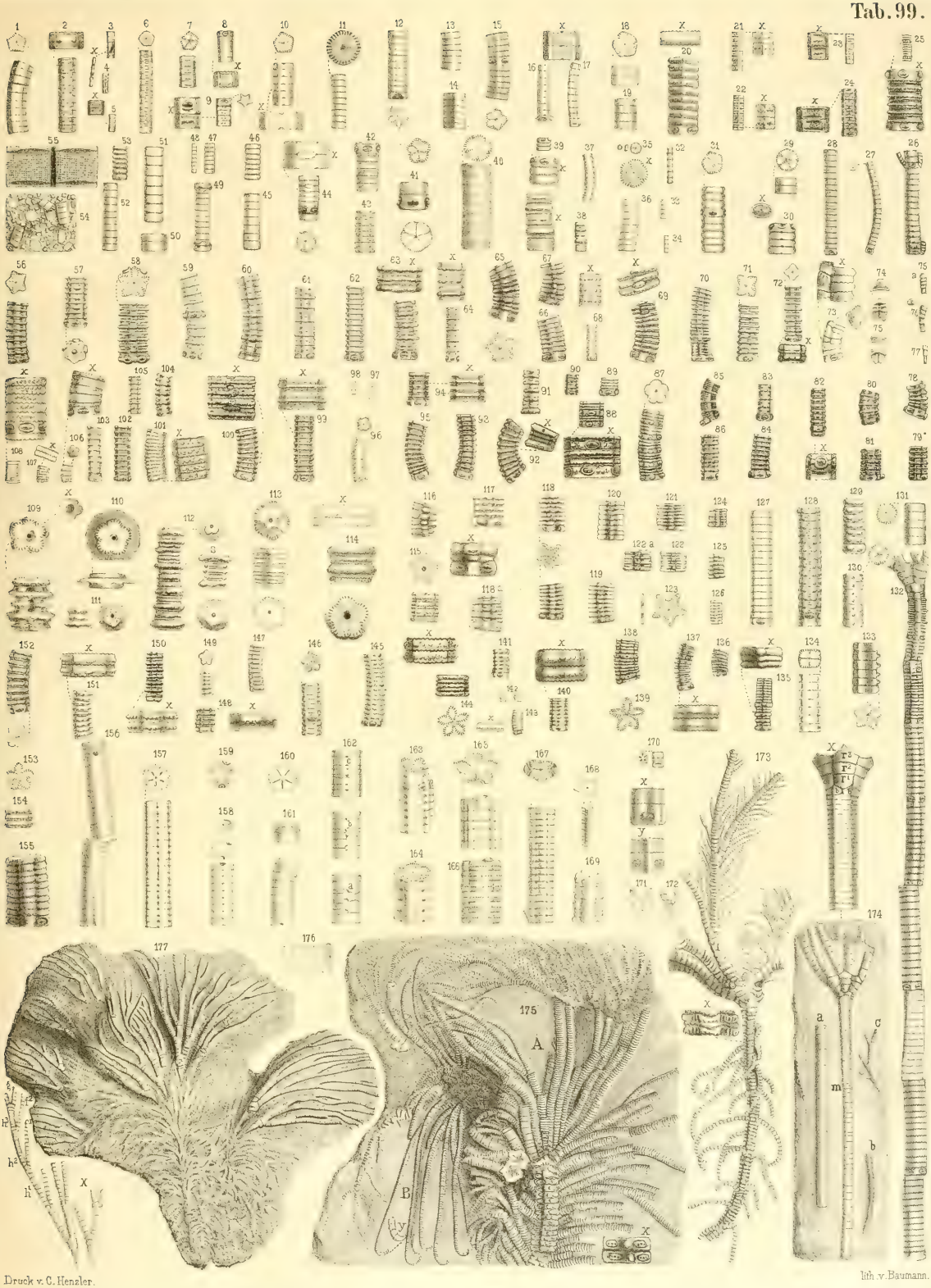

Druck v. C. Henzler.

lith. v. Baumann.

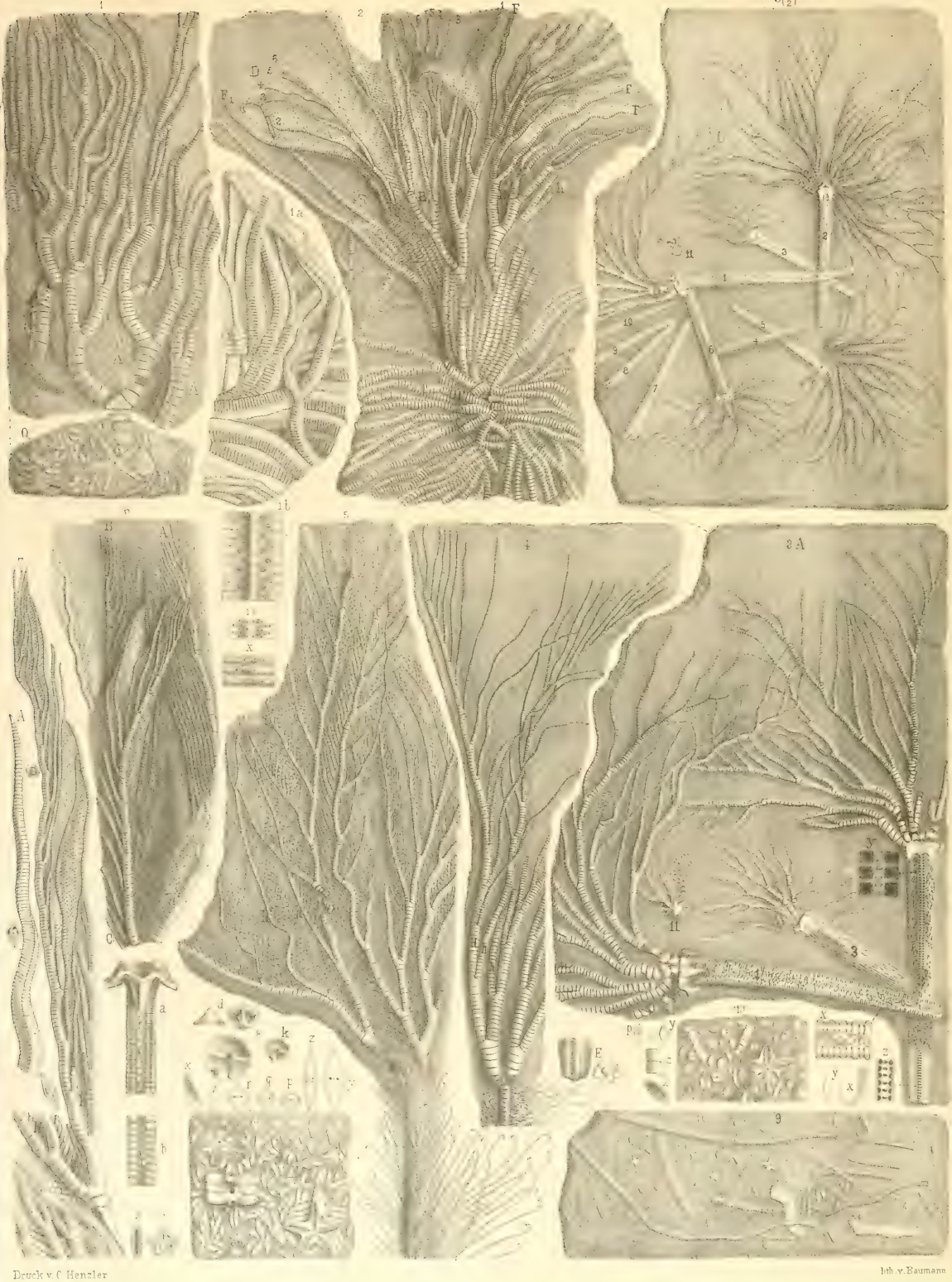

Druck v. C. Henzler

lith. v. Baumann

Erklärung tab. 100.

Fig. 1 Pentacrinus Briareus Franconicus pag. 277, Lias ε, Heiningen: unten *Q* Querschnitt, *a* Hilfsarme, *b* Säule, *c* kleineres Säulenstück (*x* vergrössert).
— 2 Pentacrinus Briareus Württembergicus pag. 274, Lias γ δ, Metzingen, unten liegen Hilfsarme; *h H A B C* Hände; Nro. 1—6 Fingerzahl; Nro. 1 und *F* lange Finger.
— 3 Pentacrinus Briareus familiaris pag. 280, Lias ε, Holzmaden, 1/2 natürlicher Grösse, Spuren von 11 Kronen; *A* natürliche Grösse.
— 4 Pentacrinus Briaroides Goldfussii pag. 285, Lias ε, Tafelfleins, Zell: *E* unteres Säulenende.
— 5 Pentacrinus Briaroides pag. 283, unterer Posidonienschiefer, Holzmaden.
— 6 Pentacrinus Briareus Britannicus pag. 271, Lias β, Lyme, *a b* zugehörige Säule, *c* Gelenkfläche des Trochiten mit vergrössertem Blatt *x*.
— 7 desgleichen pag. 272, daher, Copie, *A* Hilfsarm.
— 8 Pentacrinus Briareus pag. 278, Lias ε, Sebastiansweiler.
— 9 Pentacrinus Briareus Zollerianus pag. 286, Brauner Jura β.
— 10 Pentacrinus Briareus Achalmianus pag. 287, Brauner Jura δ.

Erklärung tab. 101.

Fig. 1 Pentacrinus subangularis pag. 289, Posidonienschiefer, Holzmaden: *A* Krone mit Stiel; *B* Krone mit der zerrissenen Gegenseite; *C* Querschnitt von unten; *x* Längsschliff der Säule 2fach vergrössert.
— 2 desgleichen pag. 299, Säulenbündel, daher: *A* Querschnitt vom Bündel *B*.
— 3 desgleichen pag. 290, Gruppe von 24 Stück in 1/45 Grösse aus „Schwabens Medusenhaupt".
— 4 u. 5 P. subang. amalthei pag. 294, Amaltheenthon, Pliensbach.
— 6 desgleichen pag. 294, daher, *b* Längsschliff, *x* vergrössertes Stück.
— 7 u. 8 desgleichen pag. 295, daher.
— 9 desgleichen pag. 295, daher, *x* 2fach, *y* 4fach vergrösserter Längsschliff.
— 10 u. 11 desgleichen pag. 295, daher.
— 12 desgleichen pag. 295, daher, vierfach vergrössertes Doppelbündel.
— 13 desgleichen pag. 295, daher, Längsschliff reicht nicht bis zum Kanal.
— 14 desgleichen pag. 296, daher, unter der Krone weg mit Hilfsarmnarben.
— 15 desgleichen pag. 296, daher, *y* Doppelbündel stark vergrössert.
— 16—19 desgleichen pag. 297, Lias δ, Hinterweiler, Säulengipfel.
— 20 Pentacrinus Hiemeri pag. 300, Lias ε, Pliensbach, Kelchradiale: *x* Basilare, *y* erstes und zweites Kelchradial.
— 21 Pentacrinus acutipelvis pag. 301, Lias γ δ, Hinterweiler, *x* Basilare.
— 22 Pentacrinus subangularis pag. 300, Seegrasschiefer Lias ε, Holzmaden, *x* Basilare.
— 23 desgleichen pag. 301, daher, Kelchradialstück von unten.
— 24. *a. b* desgleichen pag. 298, Lias δ, Säulen mit innern Trochiten.
— 25 u. 26 desgleichen pag. 299, Lias δ.
— 27—30 desgleichen pag. 299, Lias δ, Missbildung von Trochiten.
— 31 desgleichen pag. 299, Lias δ, verdickte Säulenglieder.
— 32 desgleichen pag. 299, Lias δ, Spiralglieder.
— 33 desgleichen pag. 300, Lias δ, Säulenstück mit Hilfsarmnarben.
— 34 desgleichen pag. 304, Posidonienschiefer, Sebastiansweiler: *x* Hilfsarmglieder, *s* Hand von der Seite, *u* Perisoma.
— 35 Pentacrinus colligatus pag. 301, Posidonienschiefer, Holzmaden.
— 36 Pentacrinus subangularis pag. 300, daher, Kelchradial mit Stiel.
— 37 desgleichen pag. 308, Lias δ, ein vergrössertes Gelenkblatt.
— 38 desgleichen pag. 307, Lias ε, Pliensbach, einzelne Kronenglieder.
— 39 desgleichen pag. 305, daher, *A* von unten, *B* ein höher gelegenes Stück.
— 40 desgleichen pag. 306, Lias δ, Heiningen.

Druck v. C. Henzler.

Luh v. Baumann

Erklärung tab. 102.

Fig.

1 Apiocrinus Parkinsonii pag. 313, Bradfordclay, England: *a* Innenseite, *b* seitlich mit zwei Armen, *c* ein Kelchradial von innen, *x* vergrössertes Basalstück.
2 Apiocrinus elongatus pag. 315, Grande Oolite, Ranville.
3 desgleichen pag. 317, daher, zwei concave Trochiten.
4 desgleichen pag. 317, daher, kleineres Kelchstück, *b* Radial von innen.
5 desgleichen pag. 317, daher, Kelch schief von innen.
6 desgleichen pag. 318, daher, verdicktes Säulenende mit Beckenglied *p*.
7 desgleichen pag. 318, Oberer Weisser Jura, Pruntrut.
8 desgleichen pag. 319, Unterer Weisser Jura, Birsthal.
9 desgleichen pag. 319, Portlandien, Pruntrut.
10 desgleichen pag. 319, daher, oberes Säulenglied.
11 Apiocrinitenstiel pag. 320, daher, gedrängt gegliedert.
12 Apiocrinitenstiel pag. 320, daher, *x* Längsschliff.
13u.14 desgleichen pag. 320, Unterer Weisser Jura, Birsthal.
15 desgleichen pag. 321, daher, Längsschliff mit blauen Keilen, *x* vergrösserter Trochit.
16 desgleichen pag. 321, daher, Doppelstiel.
17 desgleichen pag. 321, Unterer Weisser Jura, Klein-Lützel.
18 desgleichen pag. 321, daher, *x* vergrösserter Längsschliff.
19 desgleichen, Frankreich pag. 321, dichotomer Stiel.
20 Apiocrinus rosaceus pag. 323, Terrain à Chailles, Fringeli, Kelch.
21 desgleichen pag. 323, daher, oberstes Säulenende.
22 desgleichen pag. 323, daher, Kelch von innen.
23 desgleichen pag. 323, daher, Kelch mit Beckengliedern.
24 Apiocrinus rosaceus 324, Weisser Jura ε, Nattheim.
25 desgleichen pag. 324, daher, cf. polydactylus.
26 desgleichen pag. 325, daher, mit ungleichen Säulengliedern.
27 desgleichen pag. 325, daher, Endstücke der Säule.
28 Apiocr. ros. Schlotheimii pag. 325, daher.
29 Apiocr. ros. Knorrii pag. 325, Oolith des Weissen Jura ε, Schnaitheim.
30 Apiocr. ros. inaequitrochus pag. 325, Weisser Jura ε, Nattheim.
31 Apiocr. ros. caryophyllum pag. 325, Weisser Jura ε, Oerlinger Thal.
32u.33 Apiocr. ros. calyculus pag. 326, Weisser Jura ε, Nattheim.
34 Apiocr. ros. Schlotheimii pag. 326, Weisser Jura ε, Oerlinger Thal.
35 desgleichen pag. 326, Weisser Jura ε, Nattheim.
36 desgleichen pag. 327, daher, mit langem Stiel.
37 desgleichen pag. 327, daher; *s* seitlich, *o* oben, *u* unten verbrochen.
38 desgleichen pag. 327, daher: *a* innen, *b* aussen.
39 Apiocrinus mespiliformis pag. 328, Weisser Jura ε, Oerlinger Thal, von unten.
40 desgleichen pag. 328, Weisser Jura ε, Nattheim.
41u.42 desgleichen pag. 328, Weisser Jura ε.
43 desgleichen pag. 329, Weisser Jura ε, Nattheim.
44 desgleichen pag. 329, daher, Kelche von unten.
45u.46 desgleichen pag. 329, daher, verwitterte Kelche von innen.
47 desgleichen pag. 328, Weisser Jura ε, Oerlinger Thal, Beckenglieder von innen.
48 desgleichen pag. 330, Weisser Jura ε, Schnaitheim, oberste Säulenglieder.
49 desgleichen pag. 331, Weisser Jura ε, Nattheim, oberstes Säulenglied.
50 desgleichen pag. 331, Weisser Jura ε, Oerlinger Thal.
51 desgleichen pag. 331, Weisser Jura ε, Sirchingen.
52u.53 desgleichen pag. 331, Weisser Jura ε, Schnaitheim.
54u.55 desgleichen pag. 332, Weisser Jura ε, Nattheim, Säulenenden.
56 desgleichen pag. 332, daher, zwei letzte Säulenglieder.
57 Apiocrinus cf. rosaceus pag. 332, daher, letztes Säulenglied.
58—60 Apiocrinus Schlotheimii pag. 332, daher, oberste Säulenenden.

Erklärung tab. 103.

Fig.

1 Apiocrinus mespiliformis pag. 333, Weisser Jura ε, Nattheim: Beckenassel *a* aussen, *i* innen.
2 desgleichen pag. 333, daher, Innenseite.
3u. 4 desgleichen pag. 333, daher, *y*förmige Furche auf der Innenseite.
5 desgleichen pag. 334, Weisser Jura ε, Dietingen.
6 desgleichen pag. 334, Weisser Jura ε, Nattheim.
7u. 8 desgleichen pag. 334, daher, schmale und breite Beckenasseln.
9 Apiocrinus rosaceus pag. 334, daher, grosse Beckenassel.
10—12 desgleichen pag. 334, daher, kleinere Beckenasseln.
13 Apiocrinitenassel pag. 334, daher, unsicher.
14u. 15 Apiocr. rosaceus Schlotheimii pag. 334, daher, erste Radialglieder.
16 Apiocrinus mespiliformis pag. 335, daher.
17 desgleichen pag. 335, Weisser Jura ε, Schnaitheim.
18 Apiocrinus cf. rosaceus pag. 335, Weisser Jura ζ, Sotzenhausen: *o* Ansicht von oben.
19 Apiocrinus mespiliformis pag. 336, Weisser Jura ε, Nattheim, erstes und zweites Radial.
20 desgleichen pag. 336, daher, erstes Radial von oben.
21 desgleichen pag. 336, daher, erstes und zweites Radial.
22—25 desgleichen pag. 336, Weisser Jura ε, Oerlinger Thal, zweites und drittes Radial.
26u. 27 desgleichen pag. 337, daher, zweites Armgelenk.
28 Solanocrinus costatus pag. 337, Weisser Jura ε, Nattheim: zweites und drittes Kelchradial.
29—35 Apiocrinus mespiliformis pag. 337, Weisser Jura ε, Oerlinger Thal: Armglieder.
36u. 37 desgleichen pag. 338, daher, Armstück mit Pinnulen.
38 Apiocrinus platynotus pag. 338, daher, Kelchradial mit Armen *a* aussen, *i* innen.
39u. 40 desgleichen pag. 339, daher, Armstücke.
41—45 Apiocrinus oxynotus pag. 339, daher, Armstücke.
46u. 47 Apiocrinitenwurzeln pag. 341, daher.
48 Apiocrinus Milleri pag. 341, Weisser Jura ε, Nattheim.
49 desgleichen pag. 342, daher, letztes Säulenglied von oben.
50 desgleichen pag. 342, daher, kleinster Kelch von der Seite.
51 desgleichen pag. 342, daher, letztes Säulenglied von unten.
52 desgleichen pag. 342, daher, grösstes rohes Stück.
53 Apiocrinus Milleri pag. 342, daher, geblähte Form.
54 Apiocrinus Milleri pag. 343, daher, zweites und drittes Radial?
55 desgleichen pag. 343, Weisser Jura ε, Ehingen, Leibeskern im Dolomit.
56—57 desgleichen pag. 343, Weisser Jura ε, Schnaitheim, Beckenglieder.
58u. 59 desgleichen pag. 343, Weisser Jura ε, Oerlinger Thal, erstes Radialglied.
60u. 61 desgleichen pag. 344, Terrain à Chailles, Besançon.
62 Guettardicrinus dilatatus pag. 344, Coralrag, Angoulins, Copie.
63 Apiocrinus Roissyanus pag. 345, daher, Copie.
64—75 Apiocrinitenstiele pag. 345, Weisser Jura ε, Nattheim.
76 Apiocrinitenstiel pag. 346, daher, angeschliffen.
77—85 Apiocrinitenstiele pag. 346, daher, enggliedrig.
86u. 87 Apiocrinitenstiele pag. 347, daher.
88 Apiocrinites pag. 347, Weisser Jura ζ, Brenzthal.
89 desgleichen pag. 347, Weisser Jura ε, Sirchingen.
90—92 desgleichen pag. 348, Weisser Jura ε, Nattheim.
93—97 Apiocrinites pag. 348, Weisser Jura ε, Schnaitheim.
98 Apiocrinus cf. elongatus pag. 349, Oolith, Ranville.
99u. 100 Apiocrinus mespiliformis pag. 350, Weisser Jura ε, Oerlinger Thal (1/2).
101 desgleichen pag. 351, Coralrag, la Rochelle (1/2).
102 Apiocrinitenwurzel pag. 352, Weisser Jura ζ, Nollhaus.
103 desgleichen pag. 352, Bohnerz.
104 Apiocrinitenstiel pag. 352, Terrain à Chailles, Pruntrut.

lith. v. Baumann.

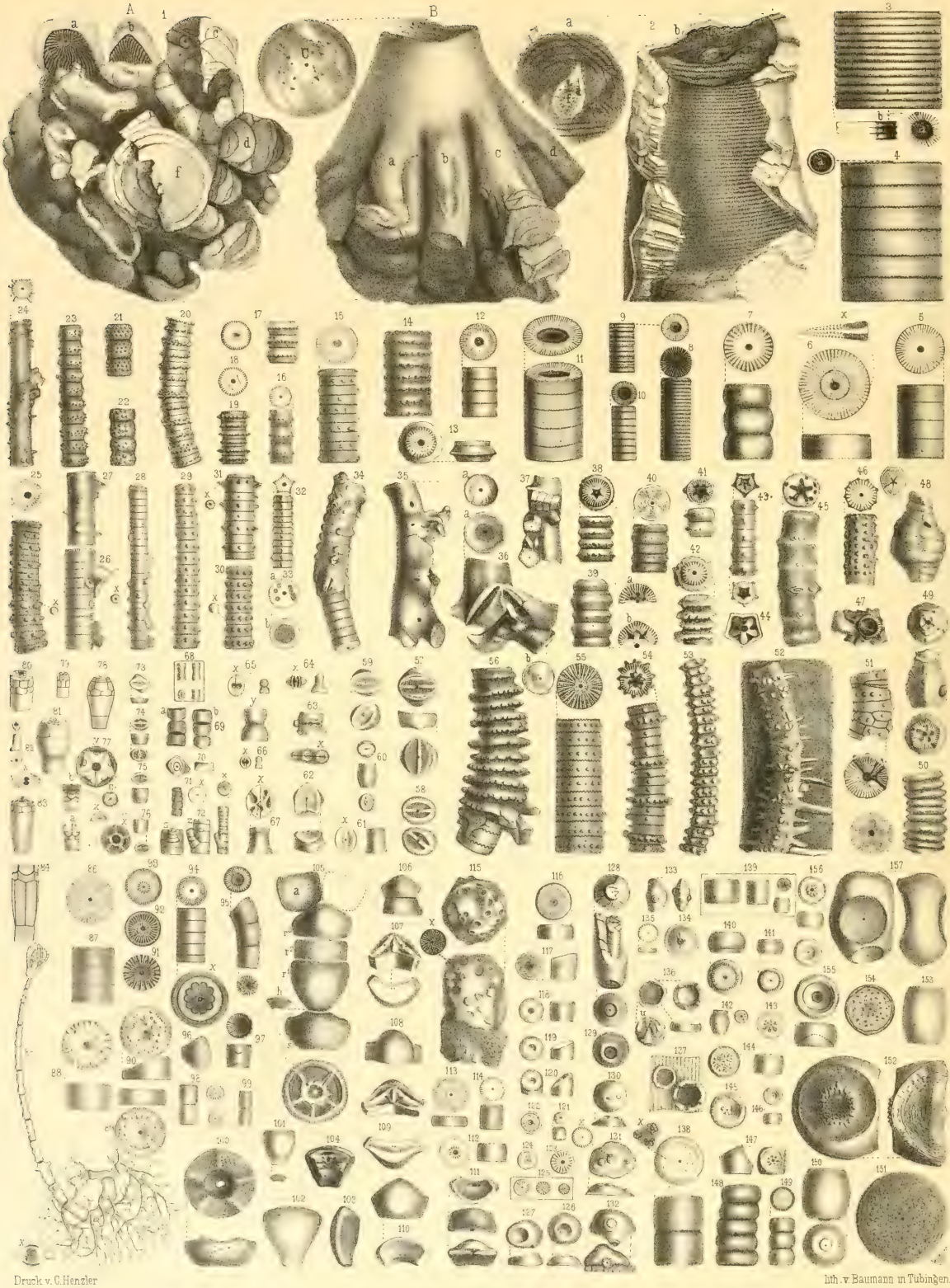

Druck v. C. Henzler

lith. v. Baumann in Tübingen.

Erklärung tab. 104.

Fig.

1 Apiocrinus elongatus pag. 353, Weisser Jura, Belfort: *A* unten, *B* seitlich, *C* Stiel oben.
2 desgleichen pag. 354, oberer Weisser Jura, Birsthal: *a* Querschnitt mit Fistulanenloch, *b* Seitenansicht mit Rinde.
3 desgleichen pag. 355, daher, Säule: *a* Grösse des Nahrungskanals, *b* geringeltes Loch.
4 desgleichen pag. 355, daher, Säule: *a* Grösse des Nahrungskanals.
5 u. 6 Apiocrinitenstiele pag. 355, Weisser Jura γ, Onstmettingen.
7 desgleichen pag. 355, Unterer Weisser Jura, Nusplingen.
8—10 Apiocrinus impressae pag. 355, Weisser Jura α, Thieringen.
11 Apiocrinitenstiel pag. 356, Oberer Weisser Jura, Nikolsburg, verdrückt.
12 Apiocrinus sutus pag. 356, Weisser Jura ζ, Nollhaus.
13 Apiocrinus cinctus pag. 357, Weisser Jura α, Böllert.
14 u. 15 Apiocrinus echinatus pag. 358, Weisser Oolith ε, Schnaitheim.
16—20 Apiocrinus annulatus pag. 358, Weisser Jura ε, Oerlinger Thal.
21 u. 22 Apiocrinus multipunctatus pag. 359, daher.
23—26 Apiocrinus echinatus pag. 359, Weisser Jura ε, Nattheim.
27 u. 28 desgleichen pag. 359, daher, Nollhaus.
29—34 desgleichen pag. 360, Terrain à Chailles, Kandern.
35—37 Wurzelstücke pag. 361, desgleichen, Birsthal.
38—47 Apiocrinus cf. echinatus pag. 362, desgleichen, daher.
48 u. 49 desgleichen pag. 364, daher, Missbildungen.
50 u. 51 desgleichen pag. 364, Terrain à Chailles, Mt. Terri.
52 desgleichen pag. 364, daher, Klein-Lützel.
53 desgleichen (horridus) pag. 365, daher, Launoy.
54—56 desgleichen pag. 365, Oberer Brauner Jura, Vaches-noires.
57 u. 58 Apiocrinus flexuosus pag. 367, Weisser Jura ε, Nattheim.
59—63 Apiocrinus ellipticus pag. 367, Weisse Kreide, Rügen.
64—66 Apiocrinus constrictus pag. 368, daher.
67 Apiocrinus ellipticus pag. 368, Weisse Kreide, Lüneburg.
68 desgleichen pag. 369, Pläner, Quedlinburg.
69 desgleichen pag. 369, Kreidemergel, Gehrdnerberg.
70—72 desgleichen pag. 369, über Weisser Kreide, Mastricht.
73—77 desgleichen pag. 370, oberer Grünsand, Teufelsmauer.
78 u. 79 desgleichen pag. 371, Copie nach d'Orbigny, Kelche.
80 u. 81 desgleichen pag. 371, Copie nach Parkinson, Kelche.
82 desgleichen pag. 371, Eocen, Traunstein, Säulenglied.
83 Apiocrinus Hagenowii pag. 371, Weisse Kreide, Rügen, Copie.
84 Rhizocrinus Rawsonii pag. 372, lebend bei Barbados, Copie eines Kelches.
85 Rhizocrinus Lofotensis pag. 372 lebt an der Norwegischen Küste, *x* Trochit vergrössert, Copie.
86 u. 87 Apiocrinus Adneticus pag. 373, rother unterer Lias, Adnet.
88—99 Apiocrinus amalthei pag. 374, Lias δ, Dörlbach.
100 desgleichen pag. 375, daher, oberstes Säulenglied.
101—104 desgleichen pag. 376, daher, verschiedene Kelchradiale.
105 desgleichen pag. 375, daher, ideelle Zusammenstellung: *s* oberstes Säulenglied; *r* Kelchradiale; *a* Arm.
106 u. 107 desgleichen pag. 376, daher.
108 u. 109 Apiocr. amalthei laevis pag. 377, daher, Doppelgelenke.
110 Apiocrinus amalthei var. pag. 377, daher, Doppelgelenk unten concav.
111 desgleichen pag. 377, Lias δ, Dreckberg, zweites Radialglied.
112—114 desgleichen pag. 377, daher, verschiedene Stiele.
115 Apiocrinus socialis pag. 377, daher, Wurzel.
116—125 Apiocrinus Hausmanni pag. 378, Lias δ, Göttingen, Stiele.
126 u. 127 Apiocrinus cf. sessilis pag. 379, daher, Wurzelplatten.
128 u. 129 Apiocrinus pag. 379, daher, umwachsene Stiele.
130—134 Apiocrinus sessilis pag. 379, Lias δ etc., Dörlbach, Heiningen etc.
135 Apiocrinit? pag. 380, Lias β, Ofterdingen.
136 u. 137 Cotylederma pag. 380, Lias γ δ, Aselfingen, *u* Unterseite.
138—152 Mespilocrinus macrocephalus pag. 383, Brauner Jura ε, Eningen.
153—156 desgleichen pag. 384, daher, Gosheim.
157 desgleichen pag. 385, daher, Eningen.

Erklärung tab. 105.

Fig.

1 Mespilocrinus macrocephalus pag. 385, Brauner Jura ε, Rathshausen.
2 desgleichen pag. 385, daher, Nipf.
3 u. 4 desgleichen pag. 386, Sowerbyi-Bank des Braunen Jura γ, Gingen.
5—7 Acrochordocrinus insignis pag. 386, oberer Brauner Jura, Moskau.
8 Mespilocrinus macrocephalus pag. 386, Brauner Jura ε, Eningen, Wurzel.
9 desgleichen pag. 387, daher, Wasseralfingen, vergrösserte Wurzelnarben.
10—12 desgleichen pag. 387, Macrocephaluslager, Gutmadingen, mit Eindrücken von Eisenkörnern.
13—15 Eugeniacrinus Hoferi α pag. 389, Weisser Jura α, Lochen, Böllert etc.
15. *a* desgleichen pag. 389, daher, oben angeknabbert.
16 u. 17 desgleichen pag. 389, daher, cylindrisch.
18—22 desgleichen pag. 389, daher, fassförmig.
23—27 desgleichen pag. 390, daher, missgebildet.
28—33 desgleichen pag. 390, daher, kugelig.
34 desgleichen pag. 390, daher, kugelig und oben verwachsen, *x* vergrössert.
35—38 desgleichen pag. 391, daher, Zwitter.
39—42 Eugeniacrinus Hoferi ε pag. 391, Weisser Jura ζ, Nollhaus.
43 desgleichen pag. 392, Weisser Jura ε, Nattheim, verkrüppelt.
44—46 desgleichen pag. 392, daher, Oerlinger Thal.
47 desgleichen pag. 392, daher, Niederstotzingen.
48—54 Eugeniacrinus caryophyllatus α pag. 395, Weisser Jura α, Lochen und Böllert.
55 u. 56 desgleichen pag. 397, daher, vergrösserte Gelenkgruben.
57—59 desgleichen pag. 397, daher, nach den Blätterbrüchen gespalten.
60 desgleichen pag. 398, daher, ein Radialglied herausgefallen.
61 desgleichen pag. 398, daher, zweites Radial, *x* von unten vergrössert.
62 desgleichen pag. 399, daher, Kelch mit zweitem Radial, *i* innen, *a* drittes Radial.
63—71 desgleichen pag. 399, daher, dritte Radiale.
72 u. 73 desgleichen pag. 400, daher, knorrige Kelche, *x* vergrösserte Narbe.
74—79 desgleichen pag. 401, daher, verkrüppelte Kelche.
80 desgleichen pag. 402, daher, Kelch mit Stiel.
81 u. 82 desgleichen pag. 402, daher, verkrüppelt.
83—85 desgleichen pag. 402, daher, viertheilig.
86—89 desgleichen pag. 403, mittlerer Weisser Jura, Schweiz, glockenförmig.
90 u. 91 desgleichen pag. 403, Weisser Jura α, Böllert.
92—95 desgleichen pag. 404, mittlerer Weisser Jura, Schweiz, schirmförmig.
96 desgleichen pag. 404, Weisser Jura α, Böllert, Brut, *o* und *u* vergrössert.
97—101 Eugeniacrinus caryophyllatus γ pag. 404, Weisser Jura γ, Wiesensteig, Bosler, Grabenstetten.
102—105 Eug. caryophyllatus α pag. 405, Weisser Jura α, Böllert etc., Kelche mit Stielen.
106 u. 107 desgleichen pag. 406, daher, Säule und Kelch mit Blätterbruch.
108—122 desgleichen pag. 406, daher, Säulenstücke.
123—128 desgleichen pag. 407, daher, Kelche und Säulen.
129—132 desgleichen pag. 408, daher, verkrüppelte Säulen.
133—137 desgleichen pag. 408, daher, Wurzeln.
138—140 Eugeniacrinus cf. Hoferi pag. 409, daher, Wurzeln.
141—156 Eugeniacrinus caryophyllatus pag. 410, daher, verschiedene Wurzeln.
157 Eugeniacrinus nutans apertus pag. 414, Weisser Jura α, Böllert, *x* vergrösserte Gelenkfläche.
158 Eugeniacrinus nutans apertus pag. 414, daher, *x* vergrösserte Gelenkfläche.
159—162 Eug. nutans apertus pag. 415, Weisser Jura α, Böllert etc.
163 u. 164 desgleichen pag. 415, mittlerer Weisser Jura, Veilsbrunn.
165—170 Eug. nutans opertus pag. 415, Weisser Jura α, Böllert, Lochen etc., Kelche mit Stiel.
171—174 Eugeniacrinus nutans pag. 417, daher, verkrüppelt.
175—178 desgleichen pag. 418, daher, missgebildete Kelche.
179—181 desgleichen pag. 418, daher, viertheilige Kelche.
182—190 desgleichen pag. 419, daher, verschiedene Grösse.
191 Eugeniacrinus nutans cidaris pag. 420, daher, *x* vergrösserte Gelenkflächen.
192—226 Eugeniacrinitenstiele pag. 421, daher, von verschiedenster Grösse.

Druck v. C. Henzler

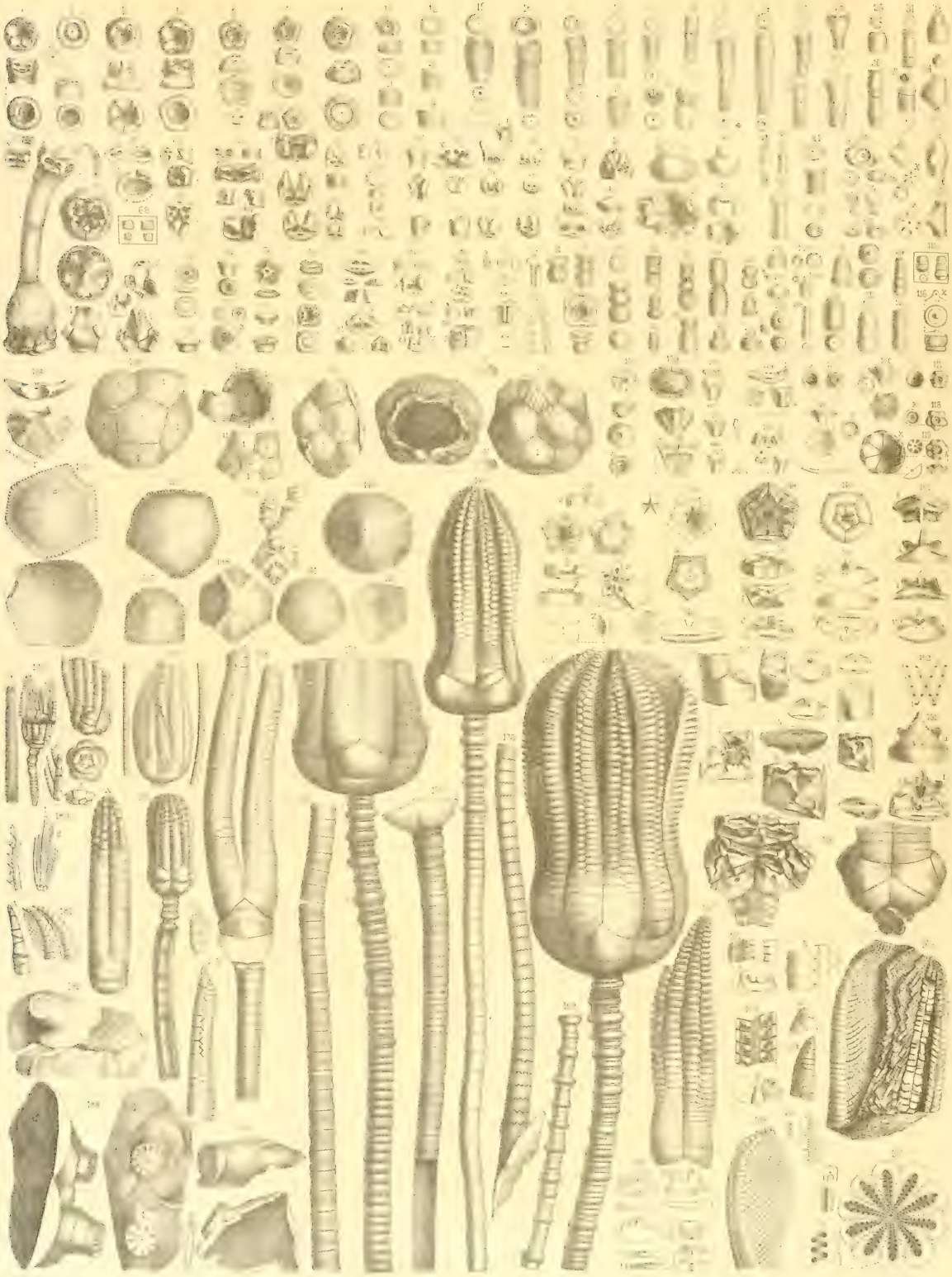

Druck v. C. Henzler

lith. v. Battmann

Erklärung tab. 166.

Fig.

1—5 Eugeniacrinus coronatus pag. 425, Weisser Jura α, Birmensdorf.
6—9 Eugeniacrinus compressus pag. 427, Weisser Jura α, Lochen etc., Kelche.
10 desgleichen pag. 427, daher, oberstes Säulenglied.
11—24 desgleichen pag. 428, daher, Stiele.
25—28 Eugen. compressus asper pag. 429, daher, Stiele und Krone.
29—42 Eugeniacrinus astralis pag. 430, daher, Stiele.
43u. 44 Bourgueticrinus pag. 431, Weisser Jura α, Lochen, Trochiten.
45—47 Eugeniacrinus nutans pag 431, daher, verkrüppelte Kelche.
48—58 desgleichen pag. 432, daher Doppelgelenke.
59u. 60 desgleichen pag. 433, daher, 2tes Radialglied mit Syzygalnaht.
61—66 desgleichen pag. 434, daher, verschiedene Armglieder.
67 desgleichen pag. 435, daher, verkrüppeltes Armglied.
68 desgleichen pag. 436, daher, kleine Armglieder.
69 Eugeniacrinus caryophyllatus pag. 436, Weisser Jura α, Böllert, ideales Bild.
70 desgleichen pag. 436, daher, Armglied.
71 desgleichen pag. 436, daher, Doppelgelenk mit Armgliedern, ideal zusammengestellt.
72—75 Tetracrinus moniliformis pag. 437, daher, oberste Säulenglieder.
76u. 77 desgleichen pag. 438, daher, fünftheilige oberste Säulenglieder.
78u. 79 desgleichen pag. 438, daher, Kelchradiale mit Säulenglied.
80 desgleichen pag. 438, daher, Radialglied.
81—84 desgleichen pag. 439, daher, Doppelgelenke.
85—89 desgleichen pag. 440, daher, Armglieder.
90—92 desgleichen pag. 440, daher, Kelche mit Säulengliedern.
93—107 desgleichen pag. 441, daher, verschiedene Trochiten.
108—116 Eugeniacrinus rugatus pag. 442, Weisser Jura α, Lochen etc.
117—121 Plicatocrinus hexagonus pag. 444, daher, fünf- bis siebenseitig.
122u. 123 desgleichen pag. 445, Weisser Jura γ, Lenninger Thal.
124—128 desgleichen pag. 445, Weisser Jura α, Lochen, 2tes Radial.
129 desgleichen pag. 446, Oberer Weisser Jura, Franken, verkieselt.
130 Plicatocrinus liasinus pag. 446, Lias, Göttingen.
131 Marsupites ornatus pag. 447, Weisse Kreide, England.
132u. 133 desgleichen pag. 450, Kreide, Lüneburg.
134—137 desgleichen pag. 450, daher, vier zusammengehörige Tafeln.
138 desgleichen pag. 451, daher, mit dicken Sculpturen.
139 desgleichen pag. 451, Kreide, England, Copie nach Dixon, Radial mit Arm.
140—142 Marsupites cf. Milleri pag. 451, Oberer Quader, Plattenberg.
143 Encrinus liliiformis pag. 464, Hauptmuschelkalk, Erkerode.
144—149 desgleichen pag. 454, Hauptmuschelkalk, Gaismühle.
150 desgleichen pag. 457, daher, 2tes Radialglied.
151 desgleichen pag. 457, daher, drittes Radialglied.
152 desgleichen pag. 458, daher, 2tes u. 3tes Radial, *x* Kanallauf.
153—156 desgleichen pag. 459, daher, Kelch- und Armstücke.
157 desgleichen pag. 461, daher, Erkerode, ein Strahl.
158—160 desgleichen pag. 461, daher, Armglieder.
161u. 162 desgleichen pag. 461, daher, Armstücke von innen.
163—165 desgleichen pag. 462, daher, Armspitzen und Pinnulæ.
166u. 167 desgleichen pag. 463, Hauptmuschelkalk, Vorwohle.
168 desgleichen pag. 463, Hauptmuschelkalk, Gaismühle.
169u. 170 desgleichen pag. 463, daher, Stiele.
171 desgleichen pag. 464, Hauptmuschelkalk, Erkerode.
172—175 desgleichen pag. 465, Hauptmuschelkalk, Gaismühle (Cylindrici).
176u. 177 desgleichen pag. 466, daher, kleine Kronen.
178 Encrinus cf. gracilis pag. 466, daher.
179 Encrinus liliiformis pag. 467, Hauptmuschelkalk, Neckarvaihingen.
180 Encrinus gracilis pag. 467, Muschelkalk, Recoaro, Copie.
181 Encrinus liliiformis pag. 467, Hauptmuschelkalk, Gaismühle, *x* vergrösserte Spitze zwischen den dickern.
182—184 desgleichen pag. 467, daher, Wurzeln.

Erklärung tab. 107.

Fig.

1 Encrinites liliiformis pag. 469, Hauptmuschelkalk, Erkerode, gegabelte Hand, Copie.
2 desgleichen pag. 469, daher, zwei getrennte Strahlen.
3 Encrinites Schlotheimii pag. 470, Hauptmuschelkalk, Göttingen.
4 Encrinus Carnalli pag. 470, Schaumkalk, Rüdersdorf, Copie.
5 Encrinus liliiformis pag. 469, Hauptmuschelkalk, Erkerode, viertheiliges Becken, Copie.
6 Encrinus Brahlii pag. 471, Schaumkalk, Rüdersdorf, Copie.
7 Encrinus aculeatus pag. 471, Hauptmuschelkalk, Oberschlesien, Kronenrest, *a* Becken, Copie.
8 Encrinus Cassianus pag. 472, Muschelkalk, St. Cassian.
9 desgleichen pag. 475, daher, ein ganzer Strahl, Copie.
10 Dadocrinus gracilis pag. 473, Hauptmuschelkalk, Chorzow, Copie.
11 Calathocrinus digitatus pag. 474, daher, Copie.
12 Encrinus liliiformis pag. 474, Hauptmuschelkalk, Schwerfen, Knospe, Copie.
13 desgleichen pag. 474, Hauptmuschelkalk, Gaismühle, vernarbter Trochit.
14—16 desgleichen pag. 474, daher, verschiedene Trochiten.
17 desgleichen pag. 474, daher, zur Hälfte verwachsene Trochiten.
18 desgleichen pag. 474, daher, verengter Trochit.
19 desgleichen pag. 474, Hauptmuschelkalk, Hildesheim, gegabeltes Säulenstück.
20—24 desgleichen pag. 475, Hauptmuschelkalk, Gaismühle, gekrümmte Stiele.
25—32 desgleichen pag. 475, daher, gesternte Trochiten.
33 u. 34 desgleichen pag. 476, daher, obere Säulenstücke.
35—37 Encrinus liliiformis pag. 477, Wellendolomit, Krautheim.
38 desgleichen pag. 477, Wellendolomit, Wildberg.
39—45 desgleichen pag. 478, Wellenkalk, Deubach.
46—53 desgleichen pag. 478, Schaumkalk, Rüdersdorf.
54—61 desgleichen pag. 479, unterer Muschelkalk, Schlesien.
62—67 Encrinus Silesiacus pag. 479, daher, Trochiten.
68—77 Encrinus liliiformis pag. 480, Muschelkalk, Recoaro, Trochiten.
78—82 desgleichen pag. 481, daher, Varia.
83—87 Encrinus cf. Silesiacus pag. 481, daher, Varia.
88 Problematicum pag. 482, daher, Hilfsarmglied?
89 u. 90 Encrinus varians pag. 482, Obere Trias, St. Cassian, Becken.
91 Encrinus granulosus pag. 485, daher, Becken.
92—95 Encrinus varians pag. 484, daher, Trochiten.
96 u. 97 Encrinus granulosus pag. 485, daher, Trochiten.
98—102 Encrinus cf. Silesiacus pag. 486, daher, Trochiten.
103—115 Encrinus Cassianus pag. 486, daher, verschiedene Trochiten.
116 Pentacrinites subcrenatus pag. 488, daher, Becken.
117 u. 118 Eucalyptocrinus decorus pag. 489, Gothländerkalk, Waldron.
119 Actinocrinus stellaris pag. 491, Oberer Bergkalk, Tournay.
120 Hexacrinus exsculptus pag. 491, Eifelerkalk, Eifel.
121 Cyathocrinus tuberculatus pag. 492, Gothländerkalk, Dudley, Copie.
122 Poteriocrinus tenuis pag. 492, Bergkalk, Mendip Hills, Copie.
123 Cyathocrinus geometricus pag. 493, Eifelerkalk, Eifel.
124 Rhodocrinus crenatus pag. 492, daher, Kelch von der Unterseite.
125 Encrinus ramosus pag. 498, Zechstein, Glücksbrunn.
126 u. 127 desgleichen pag. 499, Zechstein, Tunstall Hill, Kelch, Copie.
128 u. 129 desgleichen pag. 499, Zechstein, Glücksbrunn.
130 u. 131 Cyathocrinus planus pag. 500, Bergkalk, England, Copie.
132 Cyathocrinus quinquangularis pag. 500, daher, Copie.
133 Cyathocrinus tuberculatus pag. 500, Gothländerkalk, Dudley, Copie.
134 desgleichen (Taxocrinus) pag. 500, daher, *D* Diagramm pag. 496.
135 Cyathocrinus Rhenanus pag. 502, Eifelerkalk, Gerolstein.
136 desgleichen pag. 502, daher, Unteransicht, Copie.
137 Taxocrinus Briareus pag. 502, daher, Copie.
138 Cyathocrinus nobilis pag. 503, Bergkalk, Bolland, Copie.
139 Forbesiocrinus pag. 503, Bergkalk, Tournay, Copie.
140 Poteriocrinus Egertoni pag. 503, Bergkalk, Bolland; Copie.
141 Cyathocrinus pyriformis pag. 501, Gothländerkalk, Dudley, Copie (Ichthyocrinus).
142 Cyathocrinus inaequidactylus pag. 504, Bergkalk, Irland, Copie.
143 Taxocrinus polydactylus pag. 504, daher, Copie.
144 Cyathocrinus macrocheirus pag. 504, daher, Copie.
145 Atocrinus Milleri pag. 504, daher, Copie in nat. Grösse.
146 Taxocrinus interscapularis pag. 505, Devon, New-Buffalo, Copie.

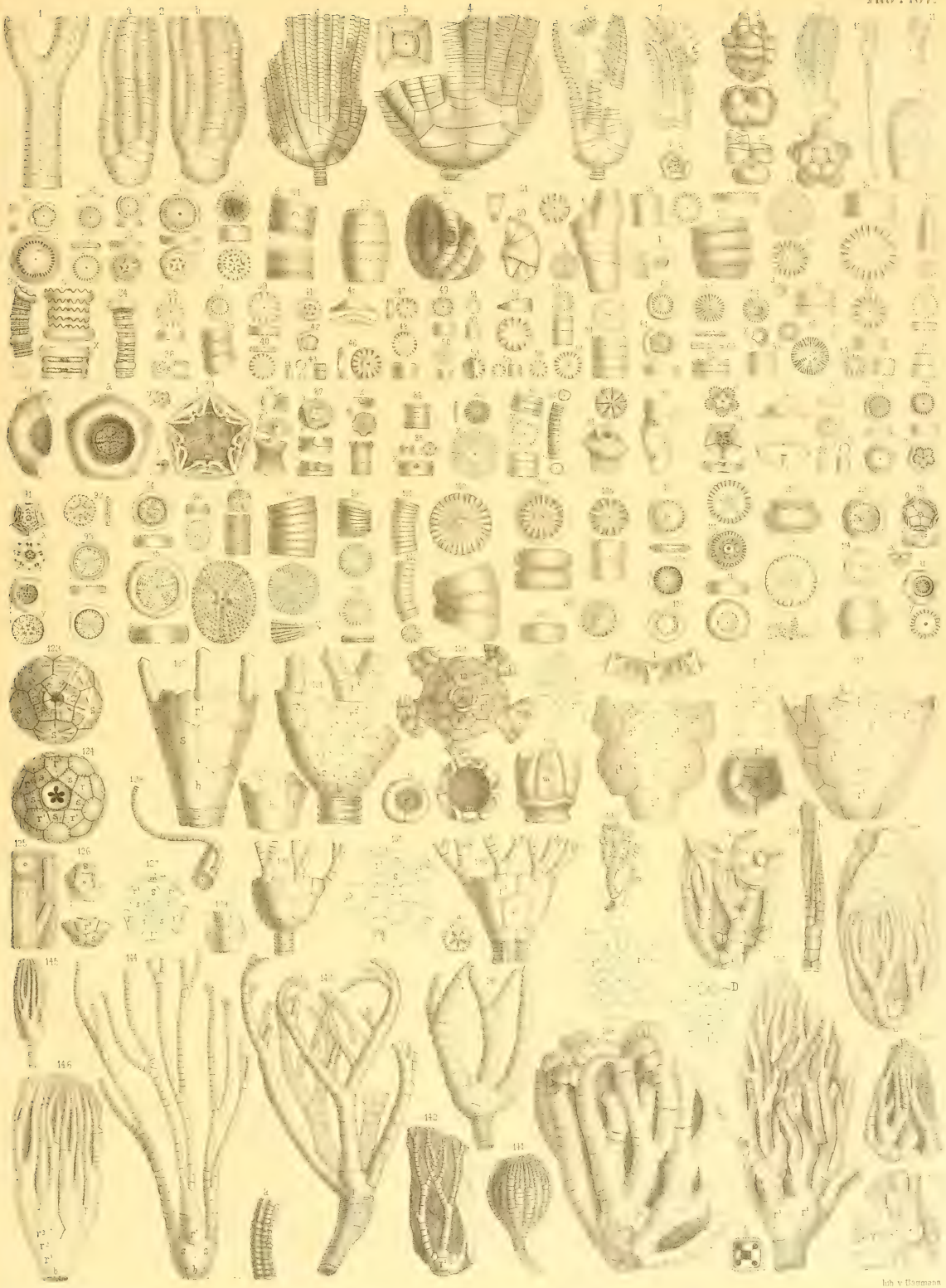

Druck v. C. Henzler.

lith. v. Hermann

Druck v. [illegible]

lith v Baumann

Erklärung tab. 108.

Fig.

1 Cyathocrinus rugosus pag. 505, Gothländerkalk (Crotalocrinus), Copie.
2—7 desgleichen pag. 506, Mittleres Uebergangsgebirge, Gothland.
8—12 desgleichen pag. 508, daher, verschiedene Stielabänderungen.
13 Anthocrinus Loveni pag. 508, daher, Gothländer Kalk, *b* Querschnitt der untern Kronengegend.
14 Cyathocrinus simplex pag. 511, Gothländerkalk, Dudley (Phoenicocrinus).
15 desgleichen pag. 511, daher, Copie.
16 desgleichen pag. 511, Mittleres Uebergangsgebirge, Gothland, Copie (Carpocrinus).
17 Heterocrinus simplex pag. 512, Hudson river group, Cincinnati, Copie.
18 Graphiocrinus encrinoides pag. 512, oberer Bergkalk, Tournay, Copie.
19 Scaphiocrinus simplex pag. 513, Bergkalk, Burlington, Copie.
20 Scaphiocrinus internodius pag. 513, Kaskaskia Limestone, Illinois, Copie.
21 Scaphiocrinus scoparius pag. 513, daher, Copie.
22 Agassizocrinus gibbosus pag. 514, daher, Copie.
23 Zeacrinus maniformis pag. 514, daher, Copie.
24 Ichthyocrinus Burlingtonensis pag. 515, Bergkalk, Jowa, Copie.
24.*B* Ichthyocr. laevis pag. 515, Mittleres Uebergangsgebirge, Lockport, Copie.
25 Zeacrinus excavatus pag. 514, Eifelerkalk, Kerpen, Copie.
26 Lecanocrinus macropetalus pag. 516, Mittleres Uebergangsgebirge, Lockport, Copie.
27 Lecanocrinus Römeri pag. 516, Eifelerkalk, Kerpen, Copie.
28 Mespilocrinus Forbesianus pag. 516, Bergkalk, Tournay, Copie.
29 Woodocrinus macrodactylus pag. 517, Bergkalk, Yorkshire.
30 Dimerocrinus decadactylus pag. 519, Wenlockkalk, Dudley, Copie.
31 Dimerocrinus icosidactylus pag. 518, daher, *A* Seite, *B* Querschnitt.
32 Dimerocrinus oligoptilus pag. 520, Devon, Schelon, Copie.
33 Poteriocrinus radiatus pag. 522, Bergkalk, Irland, Copie.
34 Poteriocrinus Missouriensis pag. 522, Bergkalk, St. Louis, Copie.
35 Poteriocrinus conicus pag. 523, Bergkalk, Bolland, Copie.
36 Poteriocrinus pag. 523, oberer Bergkalk, Tournay.
37 Poteriocrinus cf. crassus pag. 524, Bergkalk, Ratingen.
38 Poteriocrinus crassus pag. 524, Bergkalk, Derbyshire.
39 u. 40 desgleichen pag. 525, Bergkalk, Wezet.
41 Poteriocrinus sigillatus pag. 525, Bergkalk, Néñez.
42—44 Poteriocrinus pag. 526, Bergkalk, Alston.
45 Poteriocrinus pag. 526, Bergkalk, Kentucky.
46 Poteriocrinus cf. originarius pag. 526, Bergkalk, Wezet.
47 Hydrocrinus pusillus pag. 527, Bergkalk, Moskau, Copie.
48 Poteriocrinus curtus pag. 527, Eifelerkalk, Copie.
49 u. 50 Rhodocrinus quinquepartitus pag. 528, daher.
51 Poteriocrinus pag. 528, Bergkalk, Kentucky.
52 Poteriocrinus gracilis pag. 528, Bergkalk, Irland, Copie.
53 Codiacrinus granulatus pag. 529, Eifelerkalk, Copie.
54 Myrtillocrinus elongatus pag. 529, Strigocephalenkalk, Villmar, Copie.
55—57 Epactocrinus antiquus pag. 530, Eifelerkalk, Copie.
58 Epactocrinus irregularis pag. 530, desgleichen, Copie.
59 u. 60 Epactocrinus antiquus pag. 531, desgleichen, Copie.
61 Ceramocrinus Eifeliensis pag. 531, desgleichen, Copie.
62 u. 63 Nannocrinus paradoxus pag. 531, desgleichen, Copie.
64 Achradocrinus ventrosus pag. 532, desgleichen, Copie.
65.*A* Lecythocrinus Eifelianus pag. 532, desgleichen, Copie.
65.*B* Taxocrinus Briareus pag. 533, desgleichen, Copie, ideale Figur.
66 u. 67 Poteriocrinus fusiformis pag. 533, Eifelerkalk, Kerpen.
68 Poteriocrinus stellaris pag. 534, desgleichen Copie.
69—72 Poteriocrinus geometricus pag. 535, Eifelerkalk, Eifel (Sphærocrinus).
73 Poteriocr. geometr. trabeculatus pag. 537, daher.
74 Poteriocr. geometr. concentricus pag. 538, daher.
75 Hydreionocrinus globularis pag. 538, Bergkalk, Glasgow, Copie.
76 Carabocrinus radiatus pag. 539, Trentonkalk, Ottawa, Copie.
77 Dendrocrinus pag. 540, daher, Copie.
78 Dendrocrinus gregarius pag. 540, daher, Copie.
79—81 Porocrinus conicus pag. 540, daher, Copie.
82 Palaeocrinus striatsu pag. 539, Chazylimestone, Montreal, Copie.

Erklärung tab. 109.

Fig.

1 Cyathocrinus mammillaris pag. 542, Bergkalk, Visé, Copie.
2 desgleichen pag. 542, Bergkalk, Bolland.
3 u. 4 Stemmatocrinus cernuus pag. 542, oberer Bergkalk, Moskau, Copie.
5 Cromyocrinus geminatus pag. 543, daher, Copie.
6 Cromyocrinus simplex pag. 543, daher, Copie.
7 Astylocrinus laevis pag. 543, Kohlenkalk, Prairie du Long, Copie.
8 u. 9 desgleichen pag. 544, daher, Centralglieder.
10 u. 11 Edriocrinus sacculus pag. 544, Oriskany Sandstein, Copie.
12 Aspidocrinus digitatus pag. 545, Helderberggruppe, Copie.
13 Lophocrinus speciosus pag. 545, Culm, Herborn.
14 Poteriocrinus cuneatus pag. 546, Bergkalk, Burlington.
15 Cyathocrinus enormis pag. 546, Burlingtonlimestone.
16 Platycrinus pileatus pag. 548, Bergkalk, Irland.
17 Platycrinus microbasalis pag. 551, Bergkalk, Irland.
18 Platycrinus anulus pag. 551, Bergkalk, Irland.
19 Platycrinus coronatus pag. 552, Bergkalk, Irland.
20 Platycrinus cf. pileatus pag. 552, Bergkalk, England.
21 Platycrinus rugosus pag. 550, Bergkalk, Irland.
22 Platycrinus pileatus pag. 552, oberer Bergkalk, Tournay.
23—28 Platycrinus cf. laevis pag. 552, daher.
29 Platycrinus cf. tuberculatus pag. 553, daher, erstes Radial.
30 Platycrinus granulatus pag. 554, daher, erstes Radial.
31 Platycrinus cf. granosus pag. 554, daher, erstes Radial.
32 Platycrinus granosus pag. 554, daher, Kelch.
33 Platycrinus ornatus pag. 554, daher, Kelch.
34 u. 35 Platycrinus tuberculatus pag. 554, daher, Kelch.
36 Platycrinus cruciatus pag. 554, daher, Kelch.
37 Platycrinus tuberculatus pag. 554, daher, Kelch.
38 u. 39 Platycrinitenasseln pag. 554, mit Blätterbrüchen, daher.
40 Platycrinus ornatus pag. 555, daher, Stiel.
41 Platycrinus cf. tuberculatus pag. 555, Bergkalk, Burlington.
42 Platycrinus sculptus pag. 556, Bergkalk, Warsaw, verkieselt.
43 Platycrinus ornatus pag. 556, oberer Bergkalk, Tournay, Copie.
44 Platycrinus spinosus pag. 557, daher, Copie; *s* Stachel.
45 Platycrinus laevis pag. 557, Bergkalk, England, Copie.
46 Platycrinus Sarae pag. 556, St. Louis Limestone, Copie.
47 u. 48 Platycrinus tabulatus pag. 557, Devon, Eifel.
49 Plat. tabulatus depressus pag. 558, daher.
50 Stylocrinus scaber pag. 558, Strigocephalenkalk, Villmar, Copie.
51 Symbathocrinus Wortheni pag. 558, Burlington Limestone, Copie.
52 Platycrinus fritillus pag. 559, Eifelerkalk, Copie (Storthingocrinus).
53 Phimocrinus laevis pag. 559, Eifelerkalk, Pelm, Copie.
54 Phimocrinus quinquangularis pag. 559, daher, Copie.
55 Hexacrinus brevis pag. 560, Eifelerkalk, Gerolstein, Copie.
56 u. 57 Hexacrinus elongatus pag. 561, Eifelerkalk.
58 Hexacrinus crispus pag. 562, Eifelerkalk.
59 Hexacrinus anaglypticus pag. 561, Eifelerkalk.
60 Hexacrinus brevis pag. 562, Eifelerkalk.
61 Hexacrinus cf. callosus pag. 560, Eifelerkalk.
62 u. 63 Hexacrinus anaglypticus pag. 561, Eifelerkalk.
64 Hexacrinus symmetricus pag. 563, Eifelerkalk.
65 Hexacrinus lobatus pag. 564, Eifelerkalk.
66 Hexacrinus limbatus pag. 560, Eifelerkalk, Copie.
67 Hexacrinus magnificus pag. 565, Eifelerkalk.
68 Hexacrinus hieroglyphicus pag. 565, Eifelerkalk.
69 Hexacrinus stellaris pag. 565, Eifelerkalk.
70 Hexacrinus pag. 566, Becken, Gerolstein.
71 Homocrinus parvus pag. 567, Lockport, Niagarakalk, Copie.
72 Apiocrinus dipentas (Hoplocrinus) pag. 567, Vaginatenkalk, Petersburg, Copie.
73 Baerocrinus Ungerni pag. 568, Brandschiefer, Erras.
74 Hypocrinus pag. 567, Trentonkalk, Diagramm, Copie.
75 Dichocrinus laevis pag. 566, Becken, Bergkalk, Copie.
76 Dichocrinus expansus pag. 567, oberer Bergkalk, Tournay, Copie.
77 Dichocrinus fusiformis pag. 567, daher, Copie.
78 Dichocrinus radiatus pag. 567, daher, Copie.
79 Actinocrinus cf. umbrosus pag. 571, Bergkalk, Burlington.
80 Actinocrinus amphora pag. 571, Bergkalk, Florence Court.

Druck v. C. Henzler.

lith. v. Baumann

Druck v. C. Hengler.

lith. v. Baumann.

Erklärung tab. 110.

Fig.

1 Actinocrinus amphora pag. 572, Bergkalk, England, von oben.
2 Act. amphora papillata pag. 573, Bergkalk, Irland, von oben.
3 Amphoracrinus Americanus pag. 573, Bergkalk, Warsaw.
4 desgleichen pag. 573, daher, *u* und *o* dreiarmiger, *a* zweiarmiger Strahl.
5 Dorycrinus Mississippiensis pag. 575, daher, verkleinerte Copie.
6 Actinocrinus stellaris pag. 575, Oberer Bergkalk, Tournay.
7 desgleichen pag. 576, daher, von oben, *a* Armlöcher.
8 desgleichen pag. 576, daher, kleines Exemplar.
9 Actinocrinus cf. triacontadactylus pag. 577, Bergkalk, Hook Point.
10.11 Actinocrinus proboscidialis pag. 578, Lower Burlington Limestone.
12 Eretmocrinus Verneuilianus pag. 578, daher.
13 Actinocrinus pyriformis pag. 579, daher, *i* Innenseite des Kelchrandes.
14 Actinocrinus icosidactylus pag. 580, verkieselt, Bergkalk, Jowa, *I* Innenseite.
15—18 Actinocrinus Cristyi pag. 581, Lower Burlington Limestone.
19.20 Actinocrinus cf. æqualis pag. 582, daher, verkalkt.
21.22 Actinocrinus rotundus pag. 583, daher, verkalkt.
23 Actinocrinus Verneuilianus pag. 583, daher, verkalkt.
24—26 Actinocrinus unicornis pag. 584, daher, verkalkt.
27 desgleichen pag. 584, daher, Kieselkern mit After *a*.
28 Actinocrinus umbrosus pag. 585, daher, verkieselt.
29 Entrochites laceratus pag. 585, daher, verkalkt.
30 Trochites rhombus pag. 585, daher, verkalkt.
31 Pradocrinus Baylii pag. 585, Devon, Sabero, Copie.
32.33 Actinocrinus Prumiensis pag. 586, Devon, Eifel.
34 Rhodocrinus verus pag. 589, Mittleres Uebergangsgebirge, Dudley, Copie.
35 Thysanocrinus liliiformis pag. 589, Mittleres Uebergangsgebirge, Gothland.
36.37 Glyptocrinus decadactylus pag. 590, Hudsons river Group, Cincinnati.
38 desgleichen pag. 591, Niagaragruppe, Lockport.
39 Heterocrinus decabrachius pag. 592, Hudsons river Group, Ohio.
40 Heterocrinus simplex pag. 592, daher, Copie.
41.42 desgleichen pag. 592, Stiele, daher.
43 Scyphocrinus elegans pag. 593, Mittleres Uebergangsgebirge, Carlstein.
44 desgleichen pag. 594, daher, Kronenreste.
45 desgleichen pag. 595, daher, unten Stielabdruck, oben Arme.
46—49 desgleichen pag. 595, daher, verschiedene Stiele.
50 Ctenocrinus typus pag. 596, Grauwacke, Lahnstein.
51 desgleichen pag. 598, daher, zwei Armabdrücke.
52 desgleichen pag. 598, daher, Krone mit drei Armen.
53 desgleichen pag. 599, daher, Krone mit Rüssel *R* und Armen 1—4.

Erklärung tab. 111.

Fig.

1 u. 2 Ctenocrinus typus pag. 600, Grauwacke, Daleiden.
3 u. 4 desgleichen pag. 601, Grauwacke, Hunsrück.
5 Acanthocrinus longispina pag. 601, Grauwacke, Coblenz.
6 desgleichen pag. 601, daher, Copie.
7 desgleichen pag. 602, daher, Stiel von Dornlöchern umgeben.
8 u. 9 desgleichen pag. 602, daher, Arm und Stiele.
10—12 Runde Schraubensteine pag. 603, Grauwacke, Rübeland etc.
13 Fünfeckigte Schraubensteine pag. 604, Grauwacke, Rübeland.
14 Rhodocrinus crenatus pag. 605, Eifelerkalk, Gerolstein (reticulatus).
15 desgleichen pag. 606, daher (aculeatus).
16 desgleichen pag. 607, Eifelerkalk, Kerpen, Copie eines Armstrahles.
17 desgleichen pag. 607, daher, interradiale Ansicht.
18 u. 19 desgleichen pag. 608, daher (bursiformis).
20 Entrochit pag. 608, Eifeler Kalk, cf. Eucalyptocrinus.
21—28 Rhodocrinus pag. 609, daher.
29 Rhodocrinus cf. verus pag. 609, Bergkalk, England.
30 Rhodocrinus pag. 609, Eifelerkalk, viertheilig.
31 Rhodocrinus pag. 610, Gothländerkalk, Waldron, Wurzel.
32 Actinocrinus pentactis pag. 610, Devon, Ohiofälle, verkieselt.
33 u. 34 Melocrinus gibbosus pag. 611, Eifelerkalk, Kerpen.
35 u. 36 Melocrinus verrucosus pag. 613, daher.
37 u. 38 Melocrinus lævis pag. 613, daher.
39—41 Melocrinus hieroglyphicus pag. 613, Devon, Chimay.
42 desgleichen pag. 614, Devon, Nismes.
43 Entrochus compressus pag. 615, Eifelerkalk, Gerolstein.
44 Melocrinus pyramidalis pag. 615, daher, *D* Scheitel.
45 u. 46 Melocrinus fornicatus pag. 615, daher, *B* Basalia.
47—49 Cupressocrinus abbreviatus pag. 619, daher.
50 desgleichen pag. 620, daher, Armspitze von Innen.
51 desgleichen pag. 620, daher, Spitze.
52 u. 53 Wurzeln von Cupressocrinen pag. 618, Eifelerkalk, Bensberg.
54 u. 55 Cupressocrinus crassus pag. 621, daher.
56—60 desgleichen pag. 621, daher, einzelne Armtheile.
61—63 Cupressocrinus elongatus pag. 621, Eifelerkalk, Gerolstein.
64 Cupress. abbreviatus concentricus pag. 619, daher.
65 Cupress. abbreviatus granulosus pag. 619, daher.
66 u. 67 Cupress. gracilis pag. 622, daher.
68 Cupress. gracilis ovalis pag. 622, daher.
69 u. 70 Cupress. trimerus pag. 623, daher.
71 Cupress. pentamerus pag. 623, daher, *x* vergrössertes Stielende.
72—74 Cupress. cf. gracilis pag. 623, daher, Copien.
75 Cupress. tetragonus pag. 624, daher, *x* vergrösserte Unterseite, Copie.
76 Cupress. inflatus pag. 624, Eifelerkalk, Kerpen, Copie.
77 Cupress. crassus pag. 618, daher, Querschnitt vom Arm, Copie.
78 Cupress. abbreviatus pag. 620, daher, *s* Loch.

lith. v. Baumann

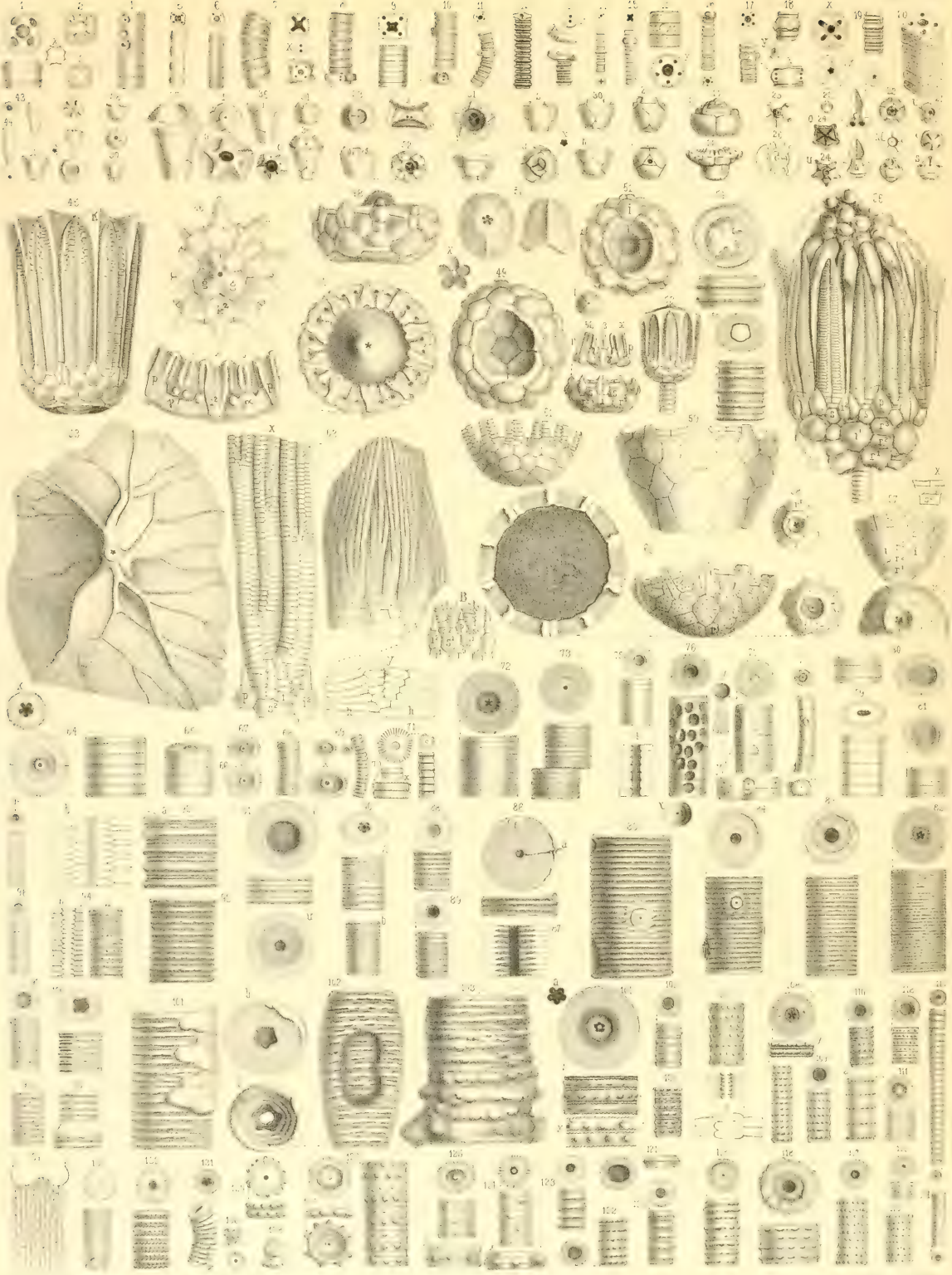

Lith. v. Bauriand

Erklärung tab. 112.

Fig.

1—4 Cupressocrinus abbreviatus pag. 624, Eifeler Kalk, Devon.
5 Cupressocrinus accinctus pag. 625, daher.
6 Cupressocrinus discinctus pag. 625, daher.
7u.8 Cupressocrinus abbreviatus pag. 625, daher.
9 Cupressocrinus quadruus pag. 625, daher.
10—15 Cupressocrinus pag. 626, junge Stiele, daher.
16—19 Cupressocrinitenstiele pag. 626, daher.
20 Cupressocrinus elongatus pag. 627, daher, Copie.
21—23 Haplocrinus mespiliformis pag. 627, daher.
24 Haplocrinus stellaris pag. 628, Devon, Enkeberg.
25 Asterocrinus Murchisoni pag. 628, Devon, Elbersreuth, Copie.
26—28 Mycocrinus boletus pag. 628, Devon, Eifel, Copie.
29 Triacrinus pyriformis pag. 629, Productenkalk, Regnitzlosau, Copie.
30—34 Triacrinus depressus pag. 630, Eifelerkalk, Kerpen: *s* seitlich, *v* vorn, *h* hinten, *u* unten.
35—37 Triacrinus altus pag. 631, daher.
38 Pisocrinus pilula pag. 631, Dudleykalk, Copie.
39 Pisocrinus ornatus pag. 631, daher, Copie.
40—42 Triacrinus Gothlandicus pag. 631, Mittleres Uebergangsgebirge, Gothland.
43u.44 Poteriocrinus fusiformis pag. 632, Eifelerkalk.
45 Eucalyptocrinus rosaceus pag. 633, Eifelerkalk, Copie.
46 desgleichen pag. 634, daher, Copie, Scheitelplatten.
47 desgleichen pag. 633, daher, Kelch von oben.
48 desgleichen pag. 633, daher, Kelch, seitlich.
49 desgleichen pag. 634, daher, Kelch, von unten.
50 desgleichen pag. 634, daher, Kelchtrichter.
51 desgleichen pag. 634, daher, Kelch von unten, *t* Trichter von oben.
52 desgleichen pag. 635, daher, kleiner Kelch.
53 desgleichen pag. 635, daher, Copie.
54u.55 desgleichen pag. 635, daher, Stiele.
56 Hypanthocrinus decorus pag. 636, Dudleykalk, Copie.
57u.58 Actinocrinus regularis pag. 636, Gothländerkalk.
59 Eucalyptocrinus crassus pag. 637, Niagaragruppe, Lockport.
60 Eucalyptocrinus cælatus pag. 637, Niagaragruppe, Lockport.
61 Lyriocrinus dactylus pag. 637, daher, Copie.
62 Clonocrinus Gothlandicus pag. 638, Gothland.
63 Eucalyptocrinus cf. crassus pag. 639, Niagaragruppe, Lockport.
64—67 Entrochi mammillati pag. 639, Eifelerkalk, Devon.
68—71 Entrochi biarticulati pag. 640, daher.
72—77 Entrochi læves lineati pag. 640, daher.
78 Entrochus lævis sigillatus pag. 641, daher.
79 Entrochus lævis compressus pag. 641, daher.
80u.81 Entrochi læves concavi pag. 641, daher.
82—90 Entrochi tornati pag. 641, daher.
91 Entrochi pares pag. 643, daher.
92—103 Entrochi impares pag. 643, daher.
104—111 Entrochi cingulati impares pag. 645, daher.
112—117 Entr. cingulati pares pag. 647, daher.
118 Entrochus cf. rugosus pag. 647, daher.
119u.120 Entrochus micropyle pag. 648, daher.
121—123 Entrochi erecti pag. 648, daher.
124—126 Zitzen-knotige Entrochiten pag. 648, daher.
127 Actinocrinus cf. muricatus Goldf. pag. 649, daher.
128 Actinocrinus muricatus pag. 649, daher, Copie.
129u.130 Entrochus moniliferus pag. 649, daher.
131 Entrochus laceratus pag. 649, daher.
132 Entrochus dentatus pag. 649, daher.
133 Entrochit pag. 650, daher.
134 Entrochit pag. 650, daher, vergrösserter Querschnitt.

Erklärung tab. 113.

Fig.
1—10 Entrochi ligati pag. 650, Eifelerkalk, Devon.
11—15 Entrochi cf. rosacei pag. 651, daher.
16—20 Entrochi cf. tornati pag. 652, daher.
21—24 Entrochi stellati pag. 653, Devon, Enkeberg.
25—28 Entrochi stellati pag. 654, Devon, Eifel.
29—32 Pentacrinus lobatus pag. 655, Vaginatenkalk, Pulkowa.
33 Sphenocrinus obtusus pag. 655, daher.
34 u. 35 Entrochus quadrinus pag. 656, daher.
36 desgleichen pag. 656, daher, *x* stark vergrösserter Nahrungskanal.
37 u. 38 Caryocrinus ornatus pag. 662, Mittleres Uebergangsgebirge, Tennessee.
39 desgleichen pag. 661, daher, Lockport, Copie.
40 desgleichen pag. 662, daher, Copie.
41 u. 42 desgleichen pag. 663, daher, Copie.
43 u. 44 desgleichen pag. 663, Platten, Tennessee.
45 Caryocrinus Europæus pag. 665, Platte, Néfiez.
46—48 Hemicosmites pyriformis pag. 665, Vaginatenkalk, Petersburg.
49 Hemicosmites extraneus pag. 668, daher, Copie.
50 Hemicosmites malum pag. 667, daher, Copie.
51 Echinoencrinus angulosus pag. 669, Vaginatenkalk, Pulkowa, *D* abgewickelt, aber nicht durch den Spiegel gezeichnet.
52 u. 53 desgleichen pag. 670, daher, Porenrhombus und Mundnabel vergrössert.
54—59 desgleichen pag. 672, daher, Stiele.
60 Cornulites serpularius pag. 672, Uebergangsgebirge, Copie.
61 u. 62 Echinoencrinus cf. granatum pag. 672, Vaginatenkalk, Pulkowa.
63—65 Echinoencrinus striatus pag. 673, daher, nicht durch den Spiegel gezeichnet.
66 Echinoencrinus granatum pag. 675, daher, Arme, Copie.
67 Echinoencrinus striatus pag. 675, daher, Arme, Copie.
68 u. 69 Echinoencrinus armatus pag. 675, Dudleykalk, Copie.
70 Echinoencrinus baccatus pag. 676, daher, Copie.
71 u. 72 Pleurocystites squamosus pag. 677, Trentonkalk, Ottawa.
73 Pleurocystites filitextus pag. 678, daher.
74 u. 75 Pseudocrinus bifasciatus pag. 678, Dudleykalk, Copie.
76 Pseudocrinus magnificus pag. 679, daher, Porenrhombus vergrössert, Copie.
77 u. 78 Pseudocrinus quadrifasciatus pag. 680, daher, Copie.
79 Pseudocrinus oblongus pag. 680, daher, *x* vergrössertes Armstück, Copie.
80 u. 81 Apiocystites pentrematoides pag. 680, daher, *x* vergrösserter Mund, Copie.
82 Apiocystites elegans pag. 681, daher, Niagarakalk, Lockport, Copie.
83 u. 84 Glyptocystites multiporus pag. 681, Trentonkalk, Canada, Copie.
85 Glyptocystites Logani pag. 681, daher, Pinnulæ und Poren, Copie.
86 u. 87 Callocystites Jewettii pag. 683, Niagarakalk, Lockport, Copie.
88 Glyptocystites giganteus pag. 683, Vaginatenkalk, Paulowsk, Copie.
89 Cystoblastus Leuchtenbergii pag. 684, daher, Copie.
90 Prunocystites Fletscheri pag. 685, Silurisch, Dudley, Copie.
91 u. 92 Lepadocrinus Gebhardi pag. 684, Helderberggruppe, New-York, Copie.
93 Cryptocrinus lævis pag. 685, Vaginatenkalk, Petersburg.
94 Hypocrinus Schneideri pag. 687, Kohlenkalk, Timor, Copie.

Druck v. C. Henzler.

lith. v. Baumann

Erklärung tab. 114.

Fig.

1 Protocrinus oviformis pag. 688, Vaginatenkalk, Petersburg. Nicht durch den Spiegel gez.
2–5 desgleichen pag. 690, daher, Copie nach Volborth.
6 desgleichen pag. 690, daher, Copie nach Verneuil.
7 desgleichen pag. 691, Vaginatenkalk, Spitham, Copie nach Eichwald.
8 Echinosphærites pomum pag. 692, Vaginatenkalk, Oeland.
9 desgleichen pag. 691, Schweden, Copie nach Gyllenhahl.
10–16 Echinosphærites Leuchtenbergi pag. 692, Vaginatenkalk, Petersburg.
17 u. 18 Echinosphærites pag. 695, Steinkern, Vaginatenkalk, Kröplin.
19 Ostracion pag. 695, Copie nach Walch.
20—22 Echinosphærites pomum pag. 696, Vaginatenkalk (Krystallapfel).
23 Echinosphærites aurantium pag. 696, Vaginatenkalk, Petersburg, *x* Porenrauten vergrössert.
24 u. 25 desgleichen pag. 700, Schweden, Copie nach Gyllenhahl.
26 Echinosphærites Gyllenhahli pag. 700, daher, desgleichen.
27 u. 28 desgleichen pag. 697, Geschiebe, Mecklenburg.
29 u. 30 desgleichen pag. 698, Vaginatenkalk, Petersburg, Stielansatz.
31 u. 32 desgleichen pag. 698, daher, Ovarialöffnungen mit Umgebung.
33 desgleichen pag. 698, daher, Afterloch mit Klappen, vergrössert.
34 u. 35 desgleichen pag. 699, daher, Mundloch *m*, vergrössert.
36 desgleichen pag. 699, daher, Copie der Mündung.
37–39 desgleichen pag. 699, daher, verschiedene Körper.
40—44 Echinosphærites granatum pag. 701, Silurisch.
45 Sphæronites testudinarius pag. 701, Vaginatenkalk, Oeland, Copie.
46 Caryocystites Davisii pag. 701, Balakalk, England, Copie.
47 Caryocystites granatum pag. 701, daher, Copie.
48 Achradocystites Grewingkii pag. 702, Vaginatenkalk, Esthland, Copie.
49 Cyclocrinus Spaskii pag. 703, Vaginatenkalk, Copie.
50 Sphærites regularis pag. 703, Oberster Jura, Cammin, Abdruck auf einer Austerschale.
51 Bothriocrinus globulus pag. 704, Vaginatenkalk, Petersburg, Copie.
52 Malocystites Barrandi pag. 704, Chazylimestone, Canada, Copie.
53 Amygdalocystites florealis pag. 704, Trentonkalk, Canada, Copie.
54 Amygdalocystites tenuistriatus pag. 704, daher, Copie, Arm.
55 Amygdalocystites radiatus pag. 705, daher, Copie.
56 Agelacrinus Cincinnatiensis pag. 706, Trentonkalk, Ohio, Copie.
57 Agelacrinus Rhenanus pag. 707, Grauwacke, Unkel, Copie.
58 Agelacrinus parasitica pag. 707, Niagarakalk, Lockport, Copie.
59 Agelacrinus Billingsii pag. 707, Trentonkalk, Canada, Copie.
60 Agelacrinus Dicksoni pag. 707, Trentonkalk, Canada, Copie.
61 Edrioaster Bigsbyi pag. 708, daher, Copie.
62 Mesites Pusirefskii pag. 708, Vaginatenkalk vom Flusse Wolchow, Copie.
63 Cyclocystoides Davisii pag. 709, Llandoveryrock, Südwallis, Copie.
64 Cyclocystoides Halli pag. 709, Trentonkalk, Ottawa, Copie.
65–67 Pentremites florealis pag. 714, Bergkalk, Amerika.
68 Pentr. florealis var. pag. 715, Bergkalk, Huntsville.
69 Pentr. florealis pag. 712, Bergkalk, Copie.
70 desgleichen pag. 713, vergrösserter Scheitel.
71 Pentremites pyriformis pag. 715, Kaskaskialimestone, Chester, Copie.
72 Pentr. florealis pag. 714, Querschnitt, die Falten zu zeigen.
73 desgleichen pag. 714, Falten, Copie.
74 desgleichen pag. 714, Normalkrone, Kohlenkalk, St. Louis.
75 Pentremites conoideus pag. 715, Warsaw-Limestone, Amerika, verkieselt.
76 u. 77 Pentremites sulcatus pag. 716, Bergkalk, Illinois.
78 Pentremites Orbignyanus pag. 716, Bergkalk, Tournay.
79 Pentremites crenulatus pag. 717, daher.
80 Pentremites Schultzii pag. 718, Devon, Ferrones, Copie.
81 Pentremites Pailleti pag. 718, daher, Copie.
82 u. 83 Pentremites Eifeliensis pag. 718, Eifelerkalk.
84 u. 85 Pentremites clavatus pag. 719, Eifelerkalk, Pelm, Copie.
86 Pentremites Reinwardtii pag. 719, Silur, Tennessee, Copie.
87 Pentremites ovalis pag. 716, Bergkalk, Ratingen.
88 Pentremites ellipticus pag. 718, Bergkalk, Bolland, Copie.
89 u. 90 Elæocrinus Verneuilii pag. 720, Devon, Louisville.
91 u. 92 Elæocrinus Sayi pag. 721, Bergkalk, Burlington.
93 u. 94 Codaster acutus pag. 722, Bergkalk, Bolland, Copie.
95 Asteroblastus stellatus pag. 723, Vaginatenkalk, Pulkowa, Copie.
96 Asteroblastus Volborthi pag. 724, daher, verkleinerte Copie.
97 Blastoidocrinus Carchariædens pag. 724, Chazylimestone, Canada, Copie.
98 Cycloblastus Leuchtenbergii pag. 724, Vaginatenkalk, Russland, Copie.
99 Grammocrinus lineatus pag. 725, chloritischer Vaginatenkalk, Petersburg, Copie.
100 Grammocrinus clathratus pag. 725, daher, Copie.
101—104 Mazatrochi pag. 726, Vaginatenkalk, Petersburg.
105 Trochit? pag. 727, Bergkalk, Bultonmould-Knobs.
106 Poteriocrinus biplex pag. 727, Vaginatenkalk, Petersburg.

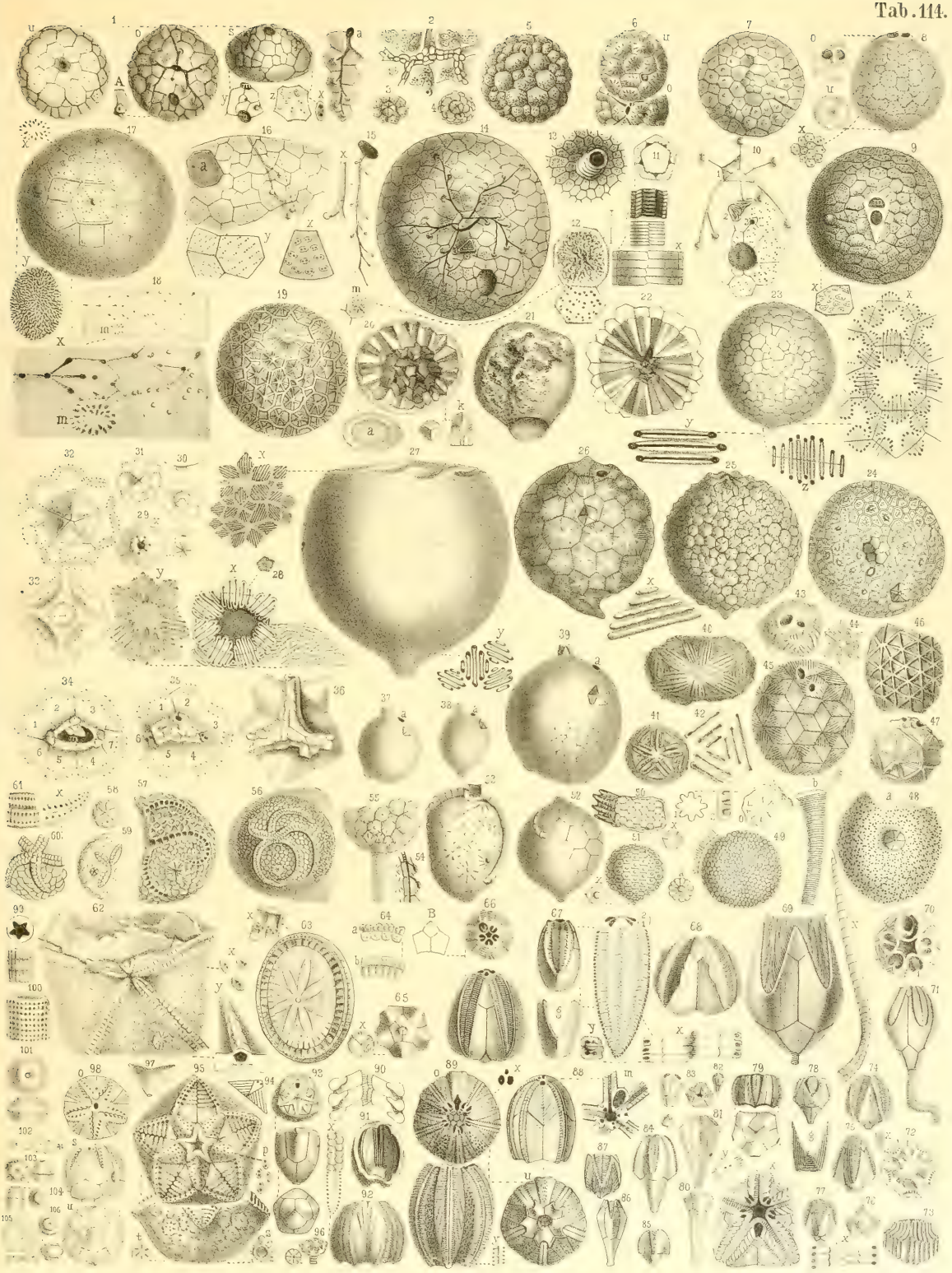

Druck v. C. Henzler.

lith. v. Baumann

ERNST MAYR LIBRARY
3 2044 110 323 300